

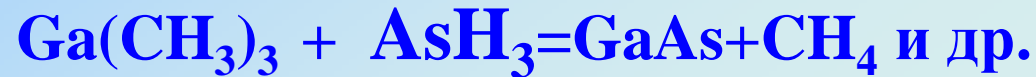
**Диагностика молекулярных примесей  
( $\text{H}_2\text{O}$ ,  $\text{NH}_3$ ,  $\text{CO}_2$ ,  $\text{H}_2\text{S}$ ,  $\text{CH}_4$ ,  $\text{C}_2\text{H}_2$ ,  $\text{C}_2\text{H}_4$ ,  $\text{C}_2\text{H}_6$ )  
в процессе получения высокочистых гидридов**

*А.П. Котков, Н.Д. Гришнова*

*Отделение высокочистых веществ*

*ФГУП “НПП “Салют”, Нижний Новгород*

## Схема процесса МОС-гидридной эпитаксии для выращивания эпитаксиальных слоев $A^3B^5$



Лучшие ЭС GaAs, полученные МОС-гидридным методом, имеют концентрацию носителей

$$n = 7 \cdot 10^{13} - 1 \cdot 10^{14} \text{ см}^{-3}$$

Содержание примесей в исходных материалах должно быть  $< 10^{-6} - 10^{-7}$  моль. % или 1-10 ppb

## Содержание примесей в гидридах производства фирмы MATHESON TRI GAS (США)

Наименование примеси	ULTIMA	PH <sub>3</sub>	NH <sub>3</sub>	SiH <sub>4</sub>	Метод анализа
	6N5	ULTIMA 6N	ULTIMA 6N4	ULSI 6N	
	99.99995	99.9999	99.99994	99.9999	
Кислород	≤ 20 ppbv	≤ 100 ppbv	(+Ar) ≤ 100 ppbv	(+Ar) ≤ 60 ppbv	ГХ
Двуокись азота	≤ 50 ppbv	≤ 100 ppbv		≤ 500 ppbv	
углерода	≤ 10 ppbv	≤ 100 ppbv	≤ 100 ppbv	≤ 50 ppbv	
Окись углерода	≤ 10 ppbv	≤ 50 ppbv	≤ 50 ppbv	≤ 80 ppbv	
Водород			≤ 100 ppbv	≤ 20 ppbv	
Метан		≤ 100 ppbv	≤ 50 ppbv	≤ 40 ppbv	ГХ
C1-C2	≤ 50 ppbv			Sum C2-C4	
C3-C5	≤ 50 ppbv			≤ 100 ppbv	
<b>Вода</b>	<b>≤ 100 ppbv</b>	<b>≤ 100 ppbv</b>	<b>≤ 200 ppbv</b>	<b>≤ 500 ppbv</b>	ИКС
Сероводород	≤ 50 ppbv	≤ 50 ppbv			ГХ
Моносилан	≤ 10 ppbv	≤ 50 ppbv			
Герман	≤ 10 ppbv	≤ 50 ppbv			
Арсин		≤ 50 ppbv			
Фосфин	≤ 25 ppbv				
Сероуглерод	≤ 25 ppbv				
Хлорсиланы				≤ 100 ppbv	ГХ
Дисилан				≤ 500 ppbv	
Дисилоксан				≤ 50 ppbv	

# Направления деятельности отделения высокоочищенных веществ

- Разработка и изготовление технологического оборудования;
- Разработка технологических процессов;
- Выпуск высокоочищенных веществ;



# Стадии получения высокочистых гидридных газов



## Методы синтеза гидридов:



### Фосфин



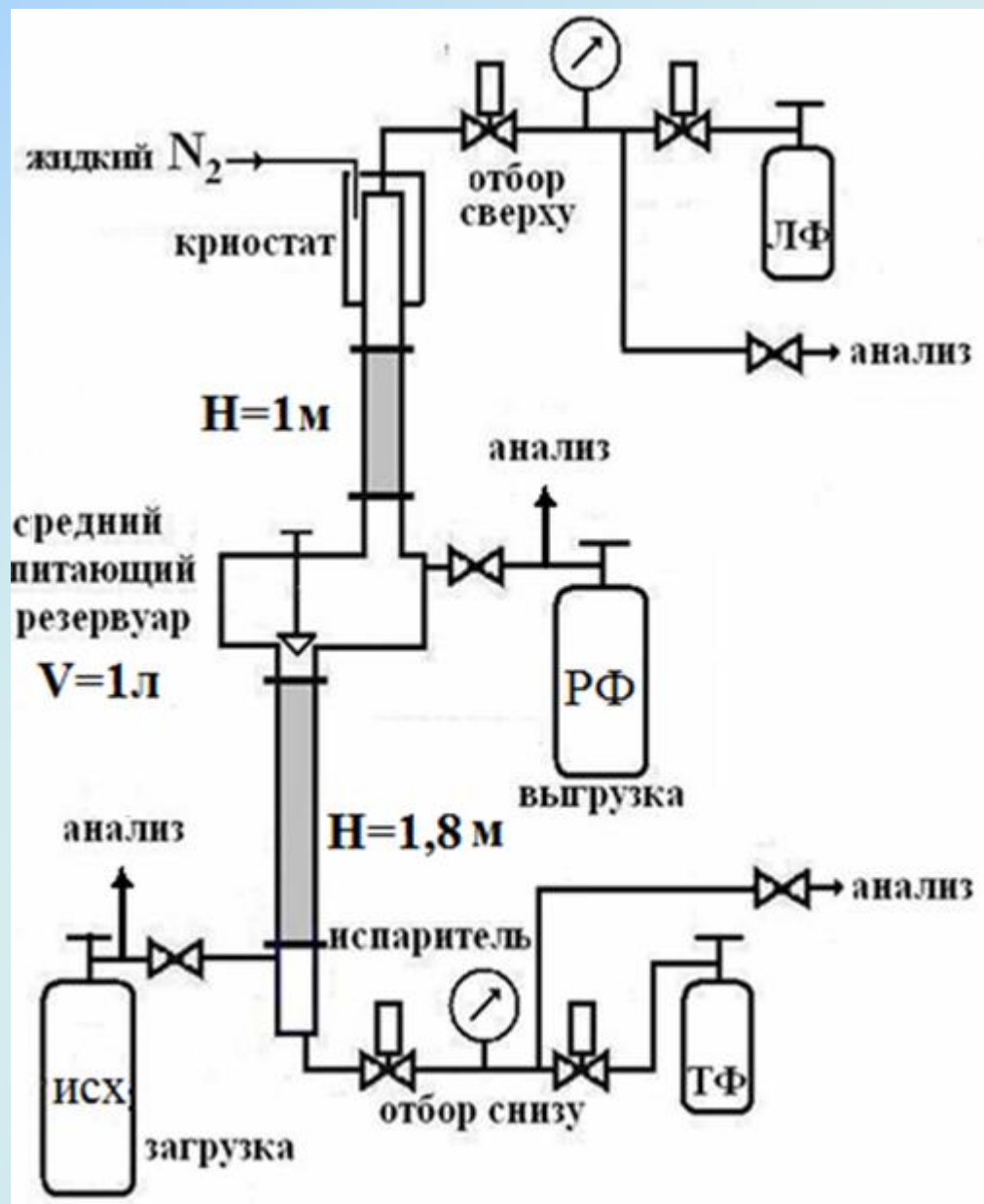
### Арсин



### Силан



# Колонна для глубокой очистки моносилана

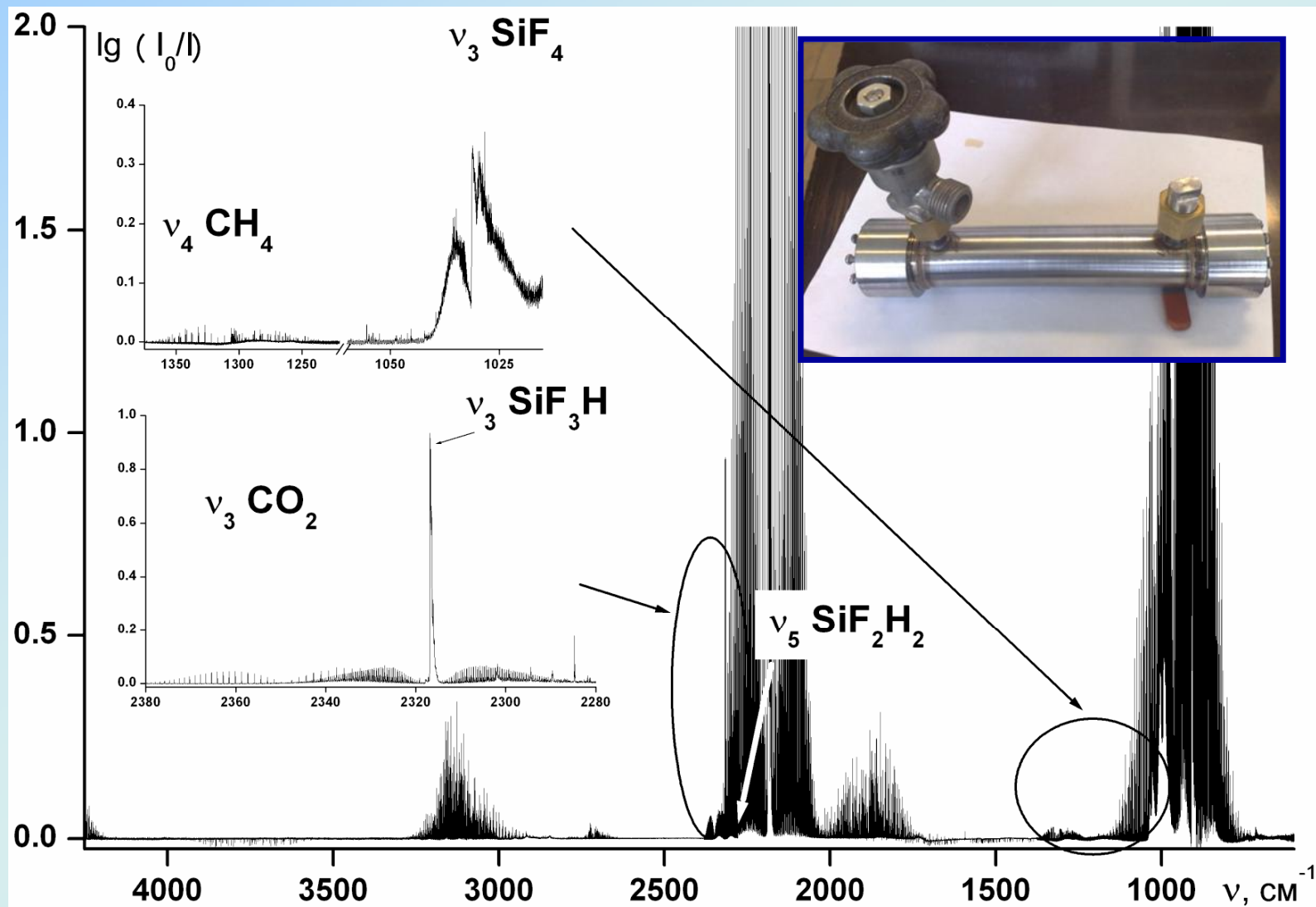


**Цель работы состояла в исследовании возможности применения спектроскопических методов анализа, в частности метода ДЛС и ИК-Фурье спектроскопии, для контроля за содержанием примесей в летучих неорганических гидридах в процессе их получения и использования.**

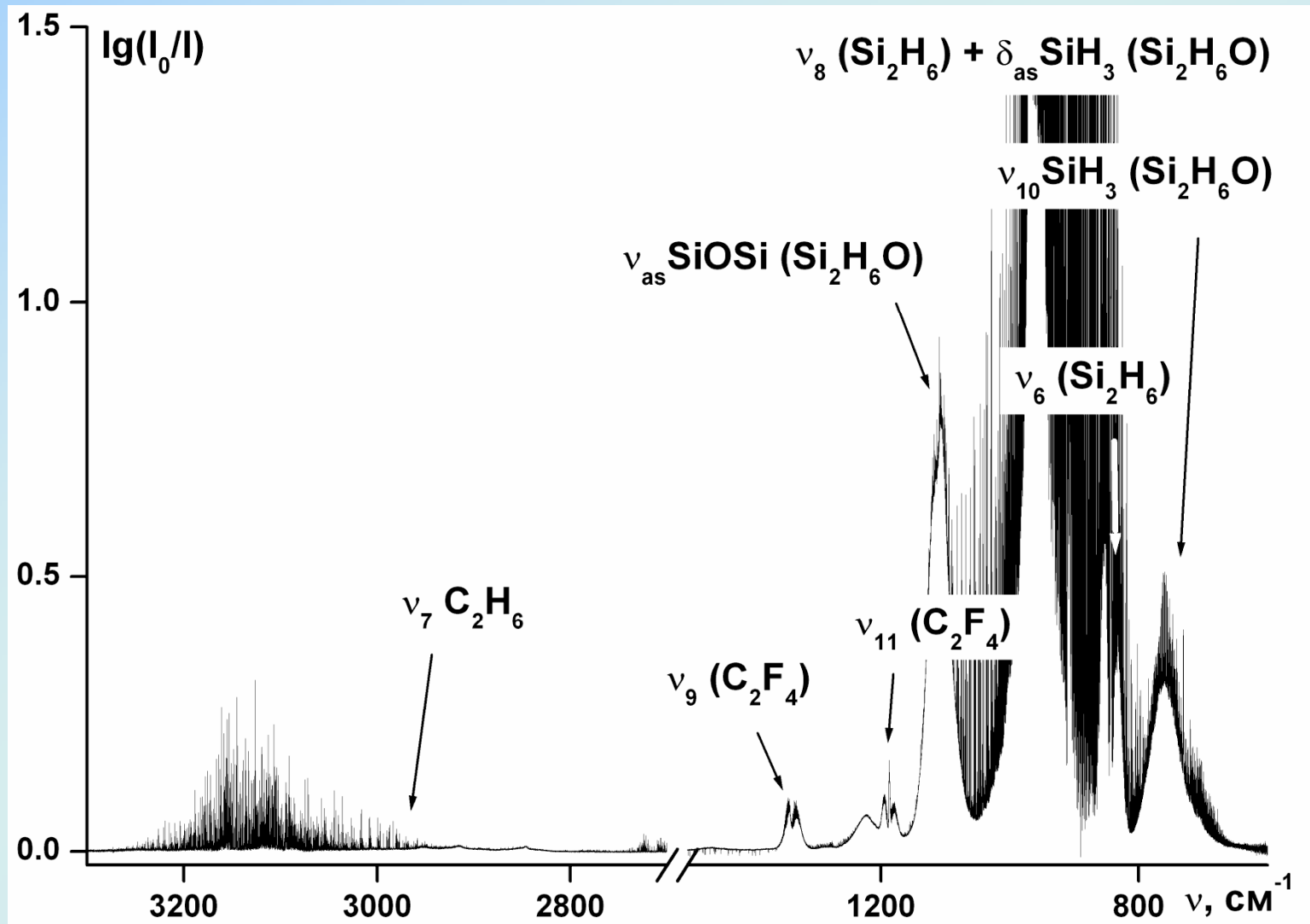
# **Направления исследований.**

- **Разработка методик анализа**
- **Уточнение примесного состава гидридов**
- **Исследование поведения примесей в процессе получения и использования гидридов.**

ИК-спектр поглощения  $\text{SiH}_4$ , полученного из  $\text{SiF}_4$  («легкая» фракция) в области  $4250 - 600 \text{ см}^{-1}$ ,  $p = 20$  торр,  $l = 20$  см, разрешение =  $0.01 \text{ см}^{-1}$ .



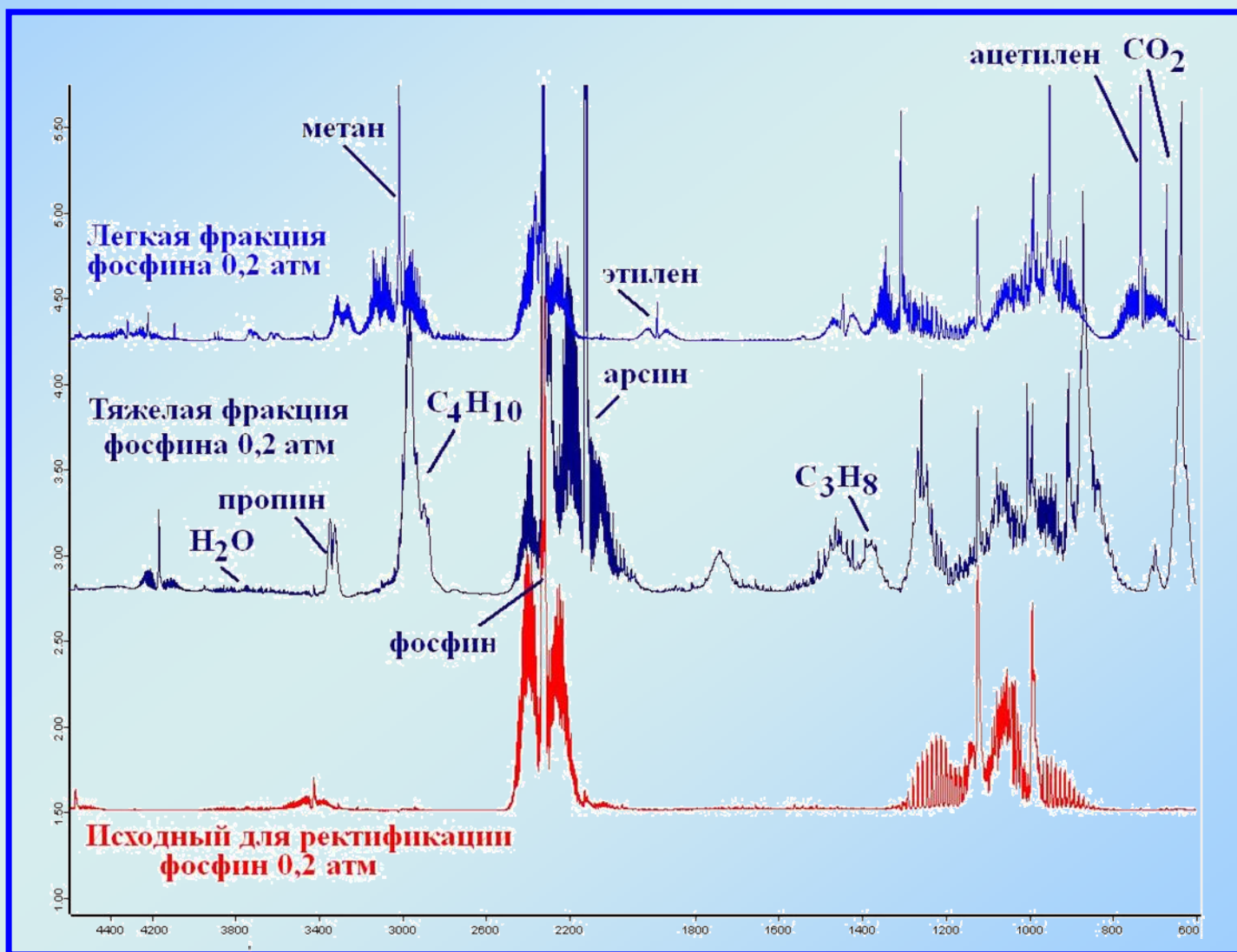
ИК-спектр поглощения «фторидного»  $\text{SiH}_4$  («тяжелая» фракция) в области  $3300 - 600 \text{ см}^{-1}$ ,  $p = 20$  торр,  $l = 20$  см, разрешение =  $0.01 \text{ см}^{-1}$ .



ИК-Фурье спектрометр TENSOR-27 (разр. 1 см<sup>-1</sup>)  
и хроматограф “Цвет-800” в составе  
ректификационной колонны. 2008 г.



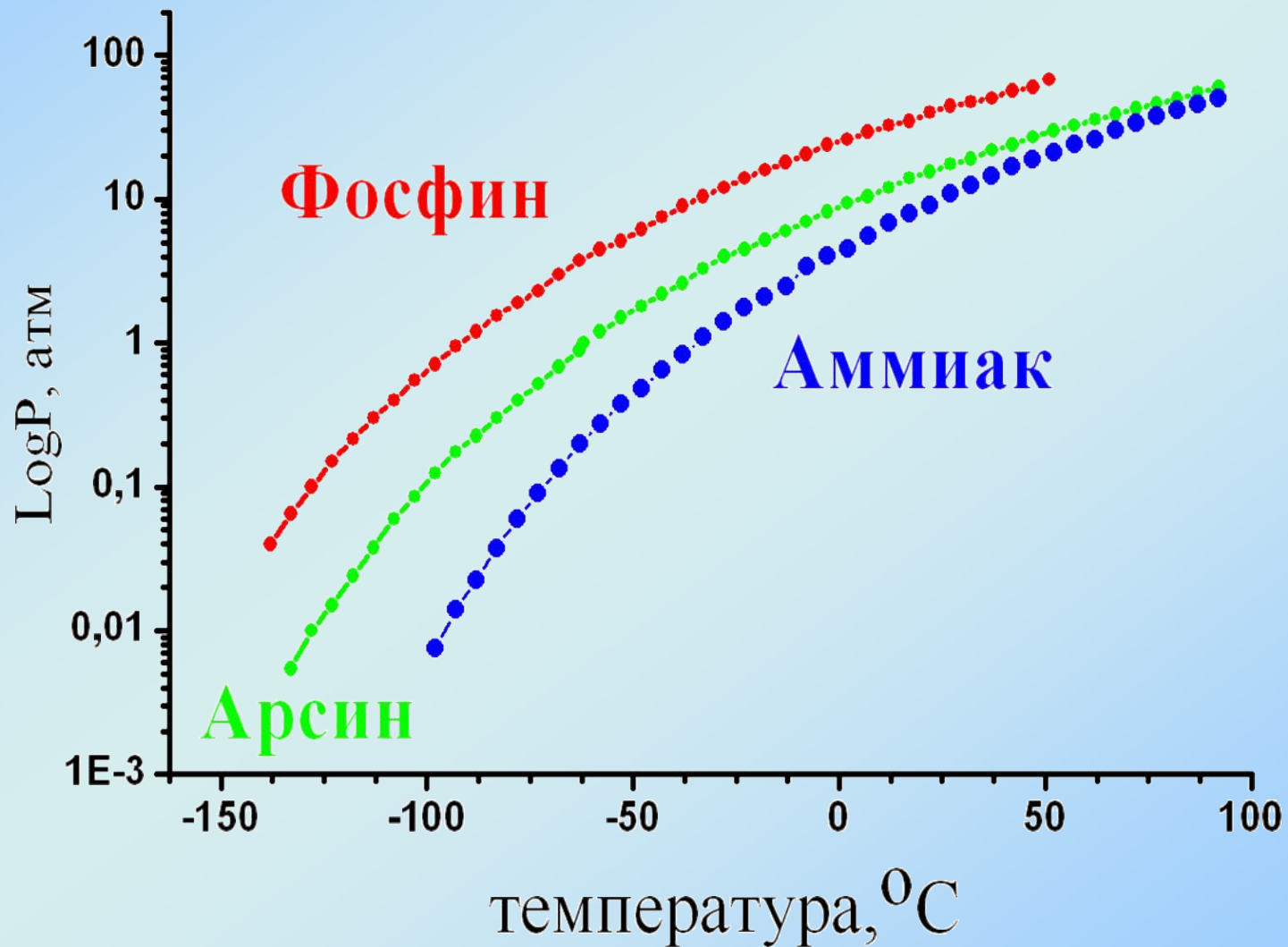
# Спектры фосфина сырца, легкой и тяжелой фракций фосфина. Разрешение $1 \text{ см}^{-1}$ . TENZOR-27. L=20 см. P=0,2 атм.



# Результаты уточнения примесного состава летучих неорганических гидридов методом ИКС.

Фракция гидрида	Арсин		Фосфин	Силан	
	AsCl <sub>3</sub>	Mg <sub>3</sub> As <sub>2</sub>	Mg <sub>3</sub> P <sub>2</sub>	SiHCl <sub>3</sub>	SiF <sub>4</sub>
Легкая	H <sub>2</sub> ; O <sub>2</sub> ; N <sub>2</sub> ; Ar <sub>2</sub>				
	CO <sub>2</sub>				
	CH <sub>4</sub>				
	C <sub>2</sub> H <sub>6</sub> , C <sub>2</sub> H <sub>4</sub>				SiF <sub>4</sub>
	H <sub>2</sub> S	C <sub>2</sub> H <sub>2</sub>			SiF <sub>3</sub> H
		NH <sub>3</sub>			SiF <sub>2</sub> H <sub>2</sub>
		PH <sub>3</sub>			COF <sub>2</sub>
Тяжелая	C <sub>3</sub> – C <sub>4</sub>			C <sub>2</sub> – C <sub>4</sub>	
	CH <sub>3</sub> OH	C <sub>3</sub> H <sub>4</sub>		SiClH <sub>3</sub>	C <sub>2</sub> F <sub>4</sub>
			AsH <sub>3</sub>	SiCl <sub>2</sub> H <sub>2</sub>	CH <sub>3</sub> SiH <sub>3</sub>
				Si <sub>2</sub> H <sub>6</sub> O	
				Si <sub>2</sub> H <sub>6</sub>	
			HCl	14	

## Зависимость давления насыщенного пара гидридов от температуры



# Результаты уточнения примесного состава летучих неорганических гидридов методом ИКС.

Фракция гидрида	Арсин		Фосфин	Силан	
	AsCl <sub>3</sub>	Mg <sub>3</sub> As <sub>2</sub>	Mg <sub>3</sub> P <sub>2</sub>	SiHCl <sub>3</sub>	SiF <sub>4</sub>
Легкая	H <sub>2</sub> ; O <sub>2</sub> ; N <sub>2</sub> ; Ar <sub>2</sub>				
	CO <sub>2</sub>				
	CH <sub>4</sub>				
	C <sub>2</sub> H <sub>6</sub> , C <sub>2</sub> H <sub>4</sub>				SiF <sub>4</sub>
	H <sub>2</sub> S	C <sub>2</sub> H <sub>2</sub>			SiF <sub>3</sub> H
		NH <sub>3</sub>			SiF <sub>2</sub> H <sub>2</sub>
		PH <sub>3</sub>			COF <sub>2</sub>
Тяжелая	C <sub>3</sub> – C <sub>4</sub>			C <sub>2</sub> – C <sub>4</sub>	
	CH <sub>3</sub> OH	C <sub>3</sub> H <sub>4</sub>		SiClH <sub>3</sub>	C <sub>2</sub> F <sub>4</sub>
			AsH <sub>3</sub>	SiCl <sub>2</sub> H <sub>2</sub>	CH <sub>3</sub> SiH <sub>3</sub>
				Si <sub>2</sub> H <sub>6</sub> O	
				Si <sub>2</sub> H <sub>6</sub>	
			HCl	16	

## Значение коэффициента разделения жидкость – пар в SiH<sub>4</sub> при T<sub>кип.</sub> = 111,7 °С

Примесь	температура кипения, °С	$\alpha_{ид.} = \frac{P_{осн.}}{P_{прим.}}$	эксперимент
<b>Более летучие, чем силан, примеси (ЛФ)</b>			
<b>CH<sub>4</sub></b>	<b>-161,4</b>	<b>1/α = 16 [2]</b>	<b>15,3</b>
<b>Менее летучие, чем силан, примеси (ТФ)</b>			
C <sub>2</sub> H <sub>4</sub>	-103,5	1,68	1,26 [1]
C <sub>2</sub> H <sub>6</sub>	-88,5	4,24	3,2 [1]
B <sub>2</sub> H <sub>6</sub>	-92,4		1,37 [1]
PH <sub>3</sub>	-85,8	5,2	4,4 [1]
AsH <sub>3</sub>	-62,3	19	12,8 [1]
GeH <sub>4</sub>	-88,5		2,26 [1]
<b>SiF<sub>4</sub></b>	<b>-91 (субл.)</b>	<b>6,4 [2]</b>	
<b>SiHF<sub>3</sub></b>	<b>-</b>	<b>4,0 [2]</b>	
<b>SiH<sub>3</sub>F</b>	<b>-97.5</b>	<b>3,0 [2]</b>	
<b>SiH<sub>2</sub>F<sub>2</sub></b>	<b>-77.8</b>	<b>12,1 [2]</b>	
<b>CO<sub>2</sub></b>	<b>-78.5 (субл.)</b>	<b>27 [2]</b>	

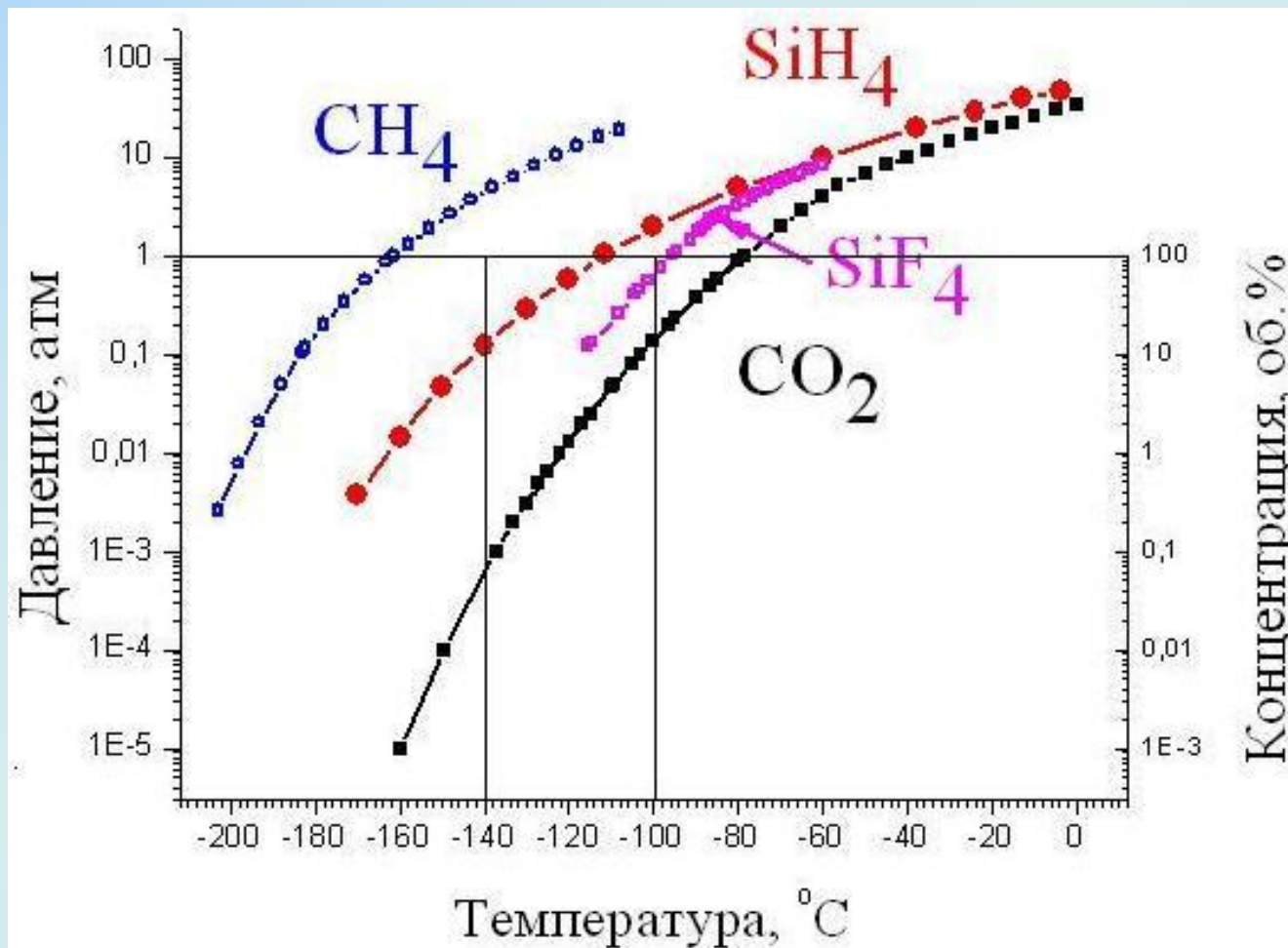
1. Девярых Г.Г., Зорин А.Д. Летучие неорганические гидриды особой чистоты. М.: Наука, 1974. 207 с.

2. Буланов А.Д., Мусеев А.Н., Трошин О.Ю., Балабанов В.В., Исаев Д.В. Глубокая очистка моноизотопных силанов <sup>28</sup>SiH<sub>4</sub>, <sup>29</sup>SiH<sub>4</sub> и <sup>30</sup>SiH<sub>4</sub> методом ректификации// Неорганические материалы 2004 Т 4 № 6 С 647- 649

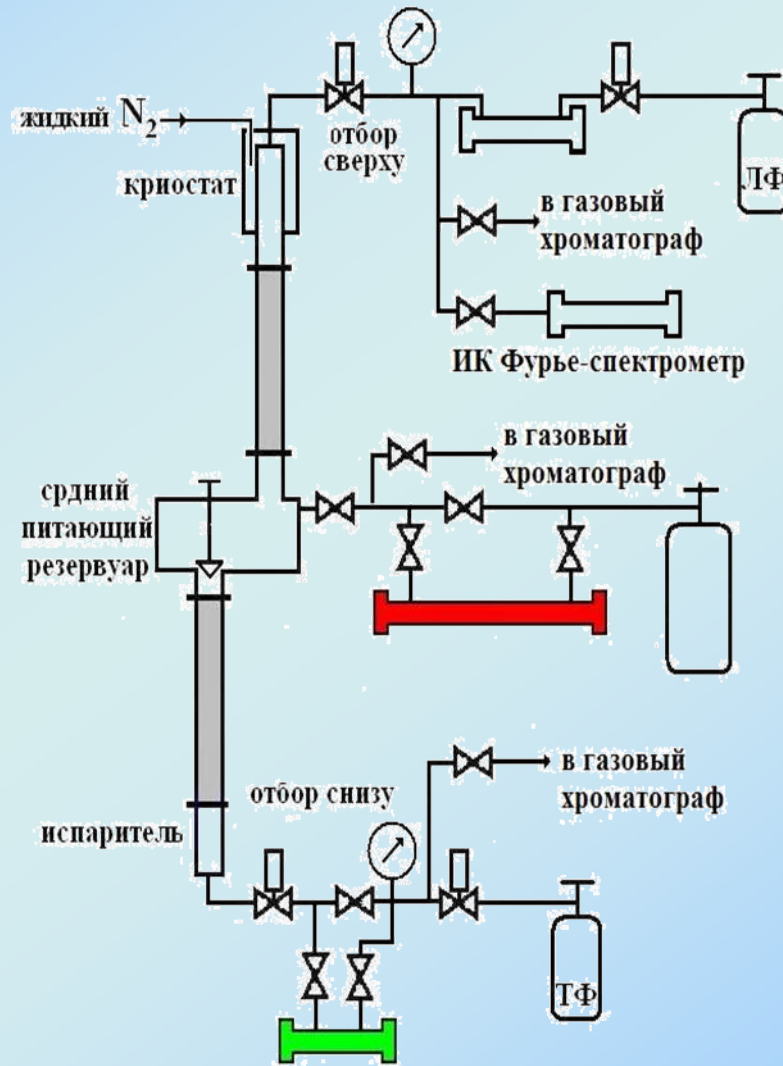
# Результаты уточнения примесного состава летучих неорганических гидридов методом ИКС.

Фракция гидрида	Арсин		Фосфин	Силан	
	AsCl <sub>3</sub>	Mg <sub>3</sub> As <sub>2</sub>	Mg <sub>3</sub> P <sub>2</sub>	SiHCl <sub>3</sub>	SiF <sub>4</sub>
Легкая	H <sub>2</sub> ; O <sub>2</sub> ; N <sub>2</sub> ; Ar <sub>2</sub>				
	CO <sub>2</sub>				
	CH <sub>4</sub>				
	C <sub>2</sub> H <sub>6</sub> , C <sub>2</sub> H <sub>4</sub>				SiF <sub>4</sub>
	H <sub>2</sub> S	C <sub>2</sub> H <sub>2</sub>			SiF <sub>3</sub> H
		NH <sub>3</sub>			SiF <sub>2</sub> H <sub>2</sub>
		PH <sub>3</sub>			COF <sub>2</sub>
Тяжелая	C <sub>3</sub> – C <sub>4</sub>			C <sub>2</sub> – C <sub>4</sub>	
	CH <sub>3</sub> OH	C <sub>3</sub> H <sub>4</sub>		SiClH <sub>3</sub>	C <sub>2</sub> F <sub>4</sub>
			AsH <sub>3</sub>	SiCl <sub>2</sub> H <sub>2</sub>	CH <sub>3</sub> SiH <sub>3</sub>
				Si <sub>2</sub> H <sub>6</sub> O	
				Si <sub>2</sub> H <sub>6</sub>	
			HCl	18	

Зависимость давления насыщенного пара метана, моносилана, тетрафторида кремния и углекислого газа от температуры.  $\text{CH}_4$  и  $\text{SiH}_4$  находятся в равновесии с жидкостью,  $\text{SiF}_4$  и  $\text{CO}_2$  – в равновесии с твердой фазой.

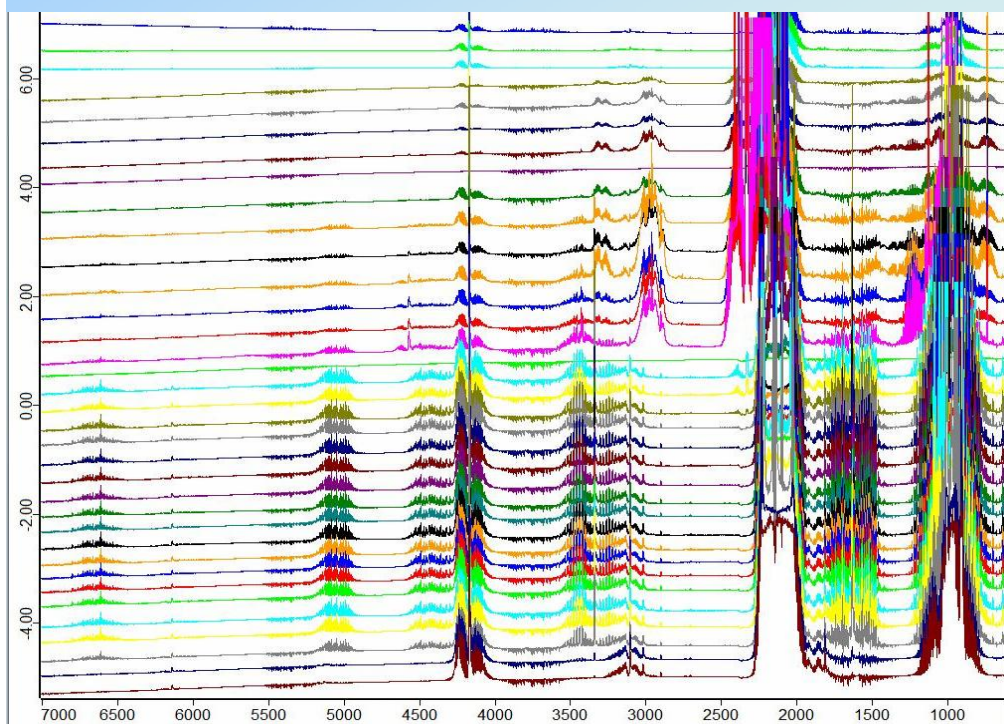


# Схема колонны

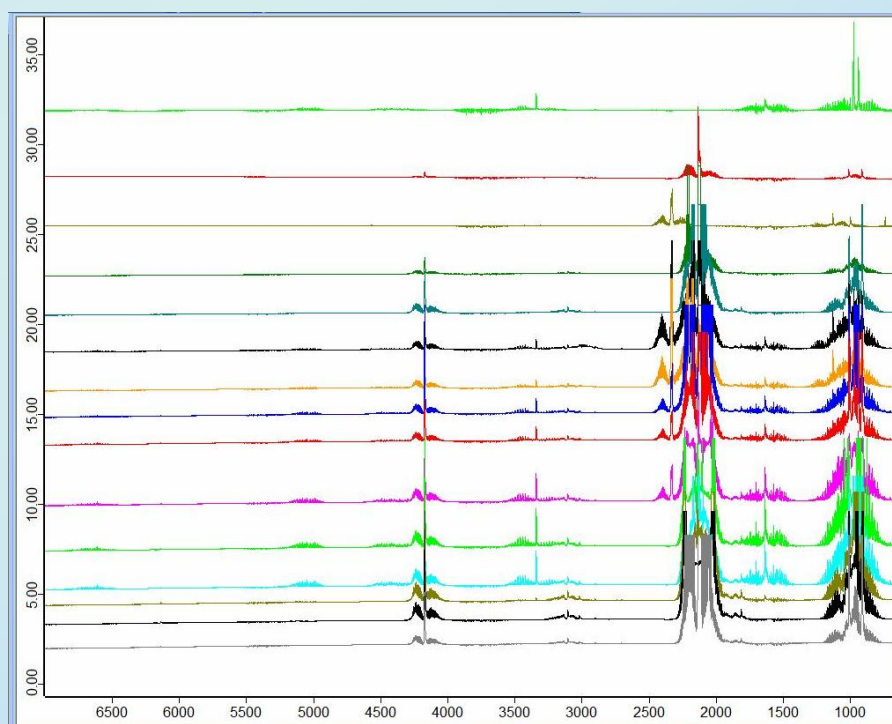


# Изменение содержания аммиака и других примесей в легкой фракции арсина по данным ИК Фурье спектроскопии.

Разрешение  $1 \text{ см}^{-1}$ , кювета 20 см, окна из ZnSe

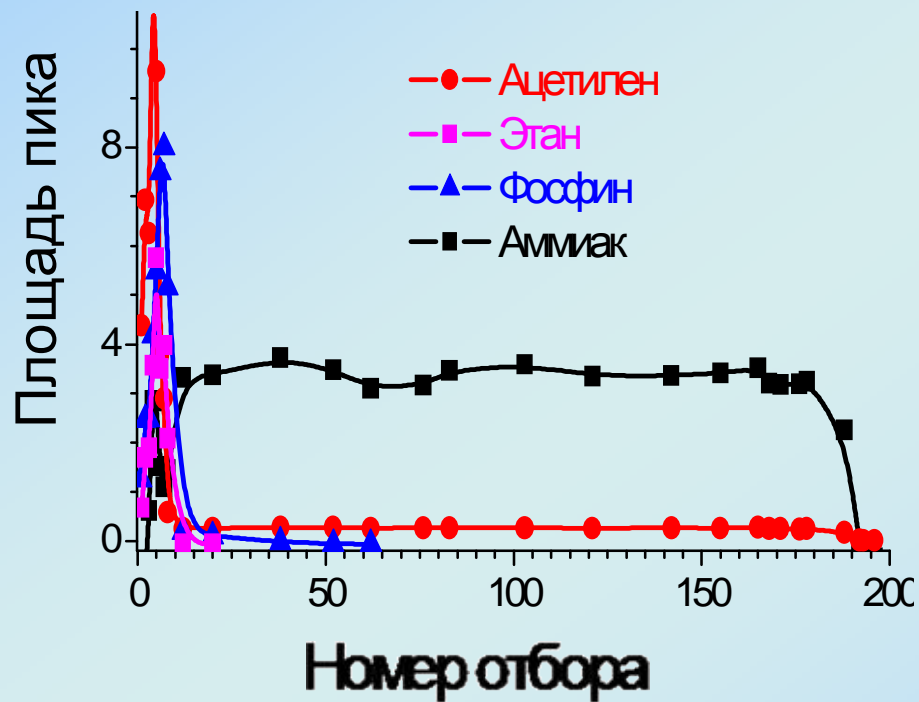


1 ректификация

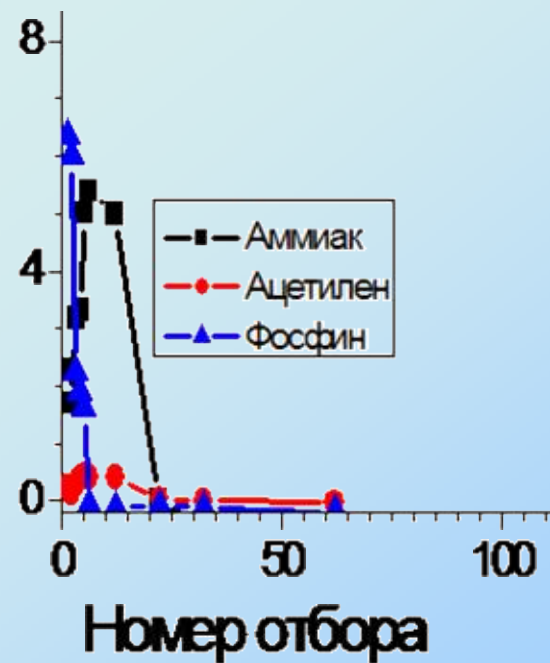


2 ректификация

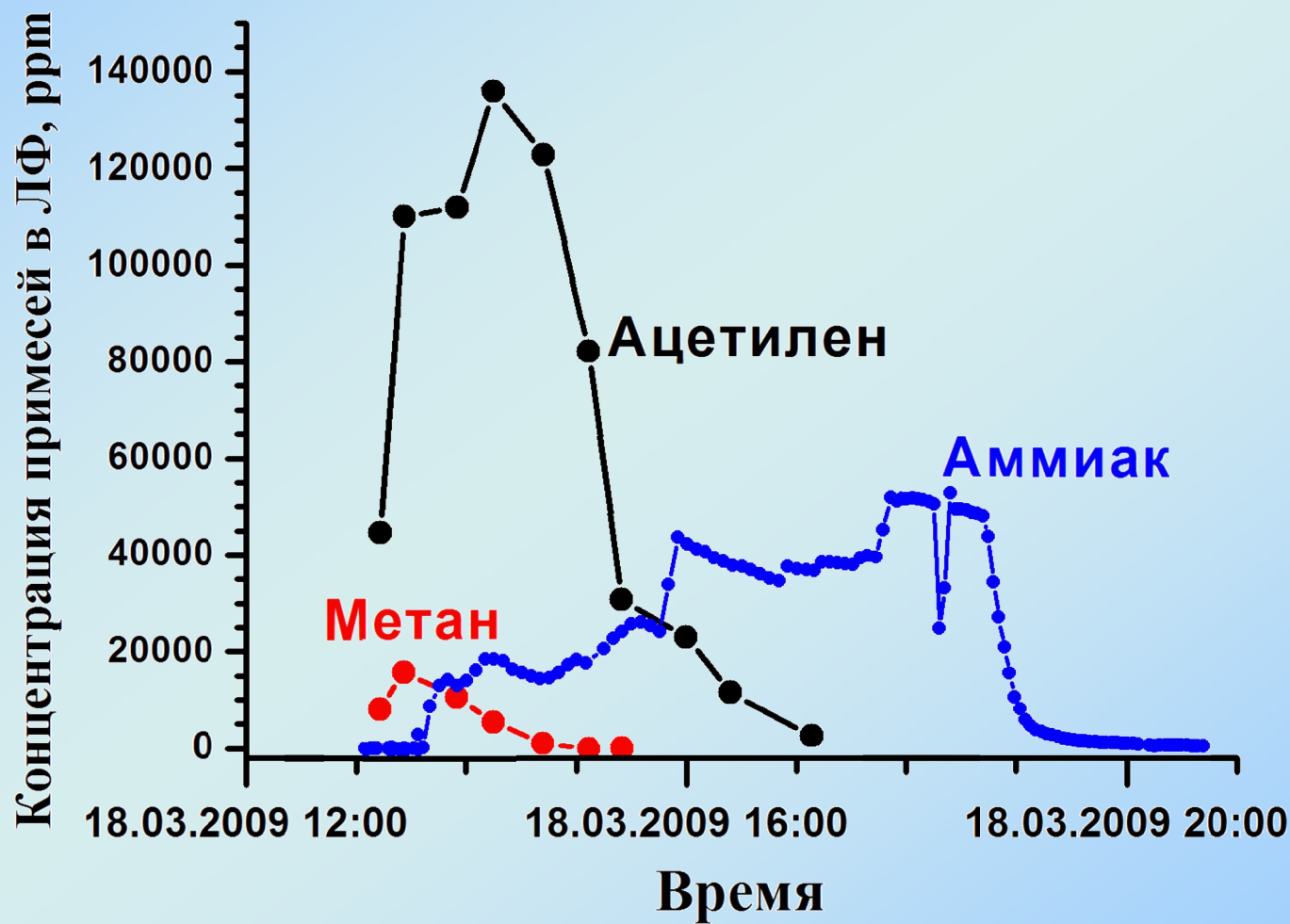
## 1-я ректификация



## 2-я ректификация



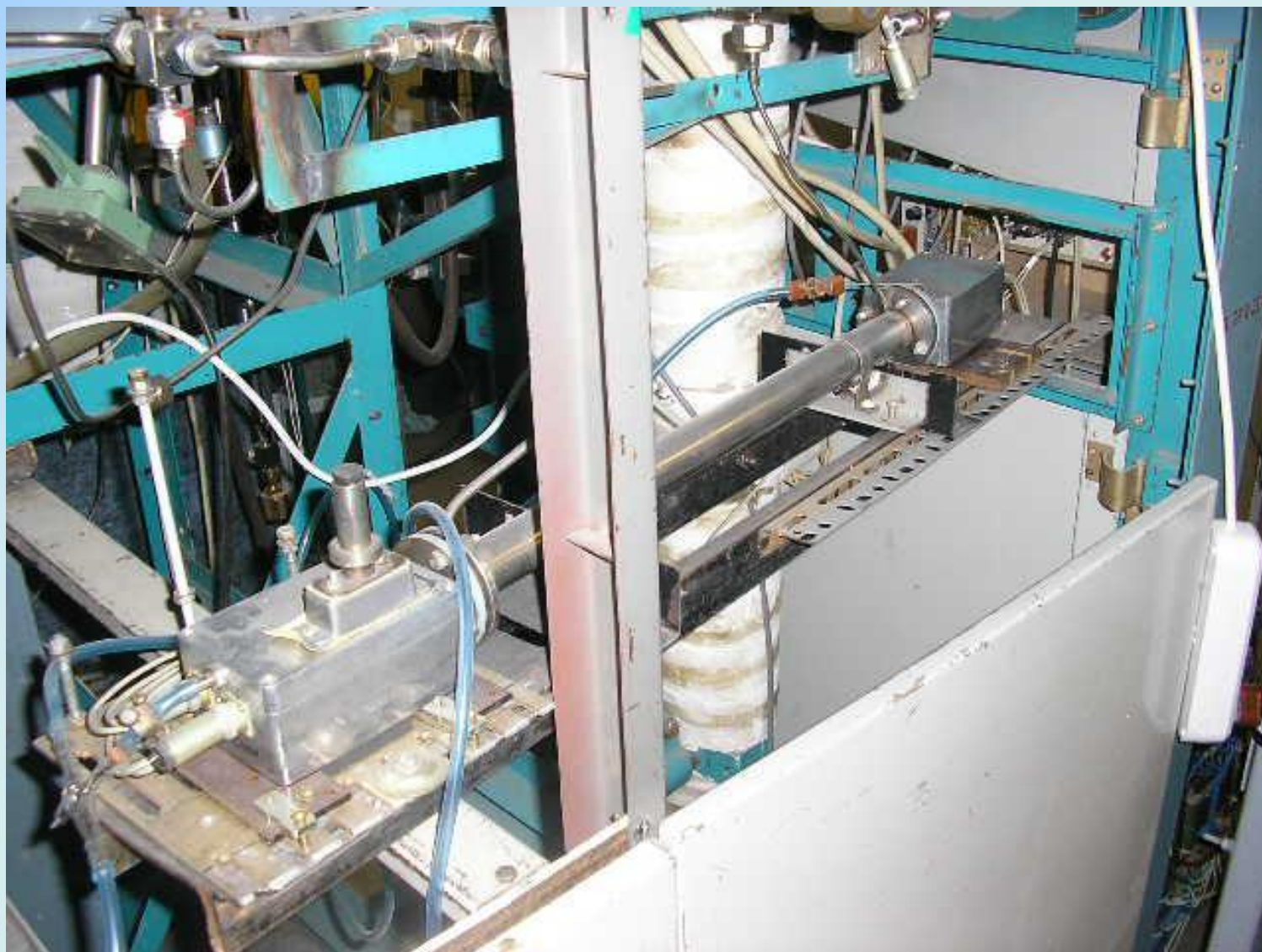
# Изменение содержания примесей в отборе легкой фракции фосфина по данным ИК-спектроскопии и ДЛС.



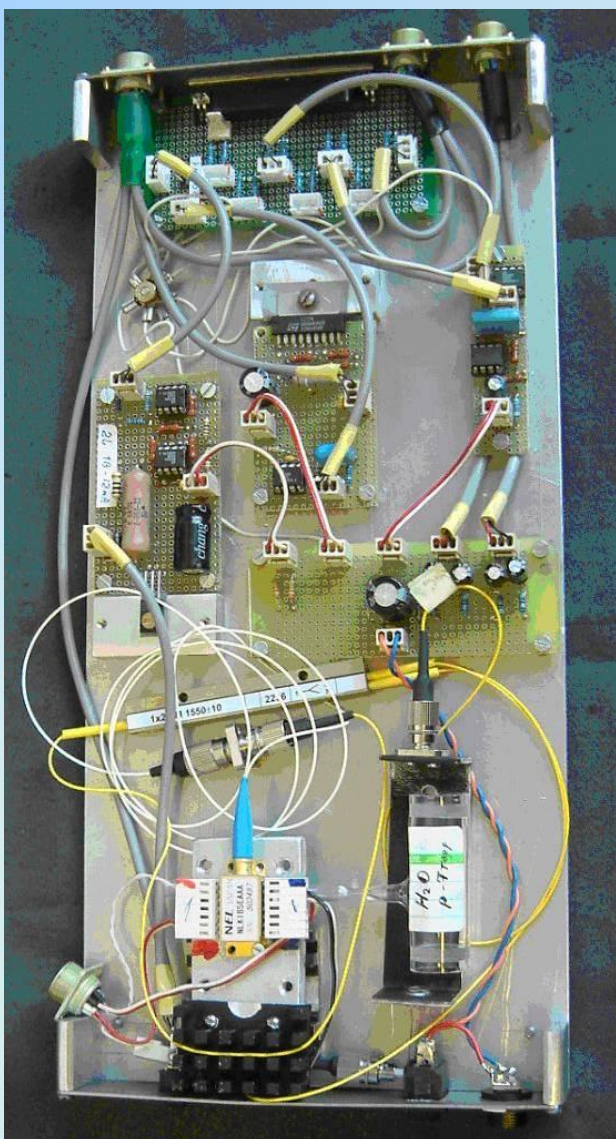
# Приборы для определения примесей в гидридах методом ДЛС, созданные в ИОФ РАН.

<b>ДЛС спектрометры для контроля примесей</b>	<b>Спектральная область диодного лазера, мкм</b>
<b>H<sub>2</sub>O</b>	<b>1,392</b>
<b>CO<sub>2</sub>, H<sub>2</sub>S</b>	<b>1,602</b>
<b>NH<sub>3</sub></b>	<b>1,512</b>
<b>C<sub>2</sub>H<sub>4</sub></b>	<b>1,630</b>

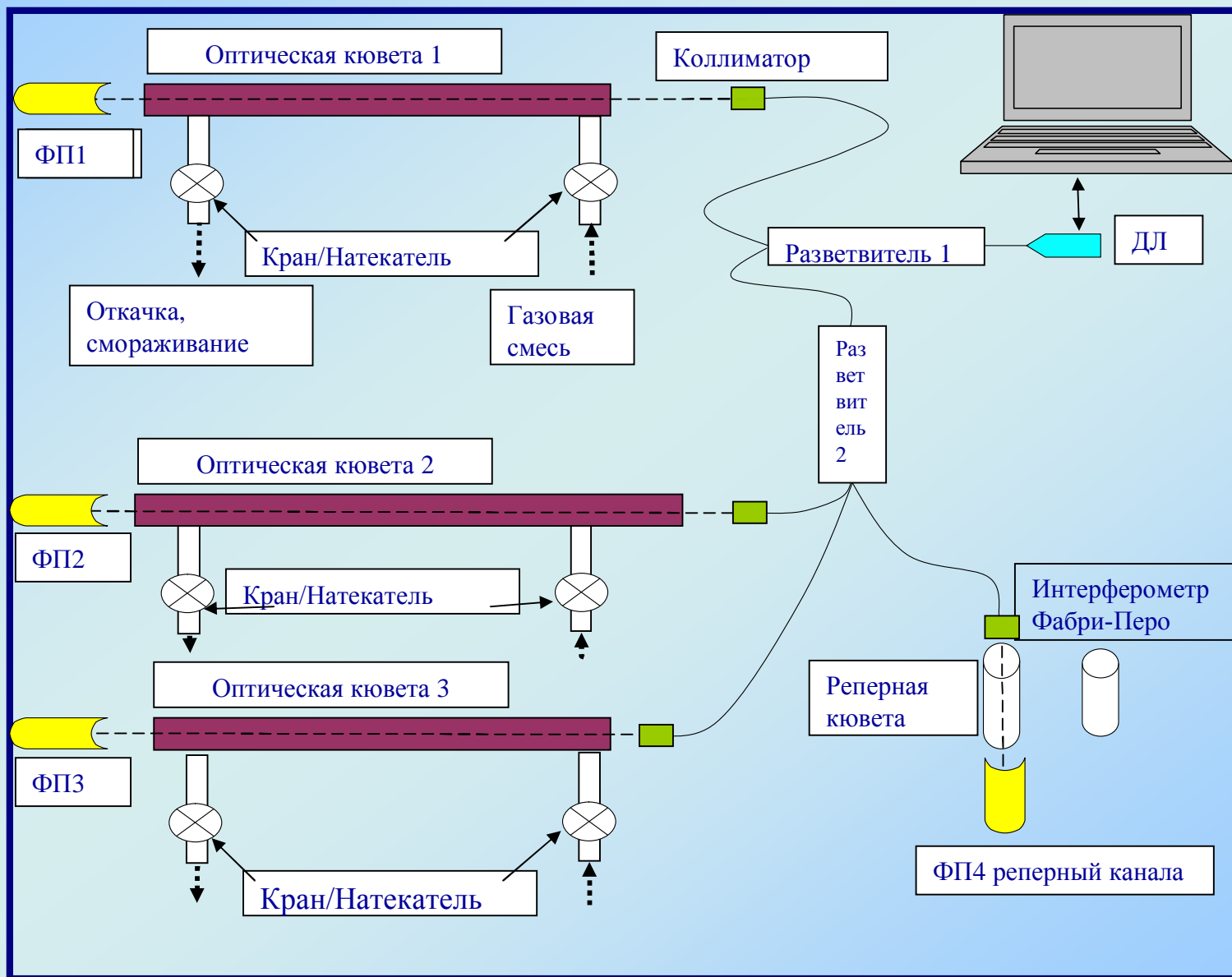
# Одноканальный прибор для определения воды в аммиаке методом ДЛС. 2003-2005 г.г.

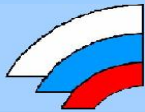


# Электронный блок управления ДЛ и реперный канал измерителя паров воды в аммиаке. 2007 г.



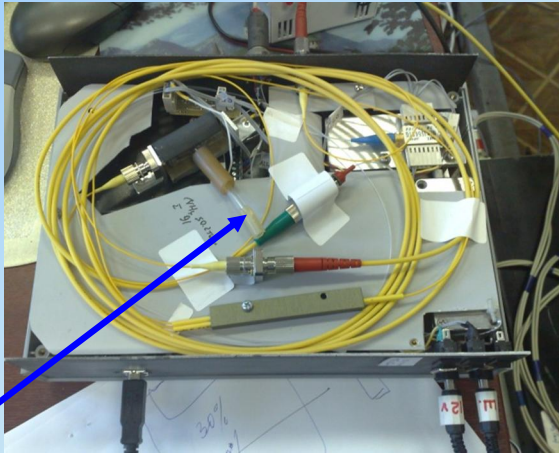
# Блок-схема многоканального диодного лазерного спектрометра. 2008 г.





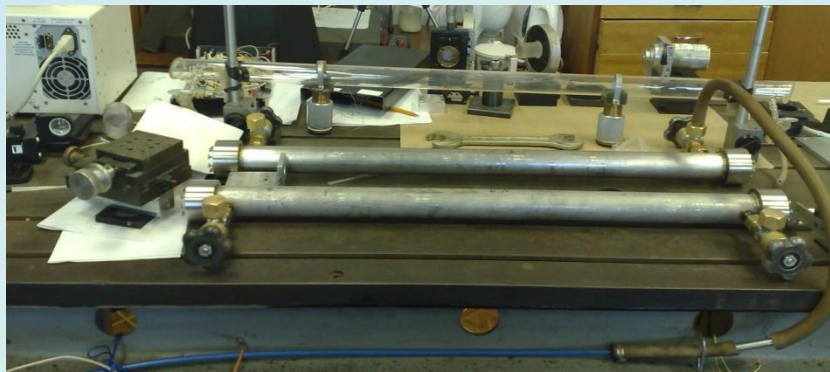
Научно-  
Производственное  
Предприятие  
**САЛЮТ**

## Приборы для определения аммиака в гидридах методом ДЛС, созданные в ИОФ РАН



с 1 аналитическим каналом      с 3 аналитическими канала  
реперная кювета - 50 торр  $\text{NH}_3$  при общем давлении 100 торр

### Аналитические кюветы

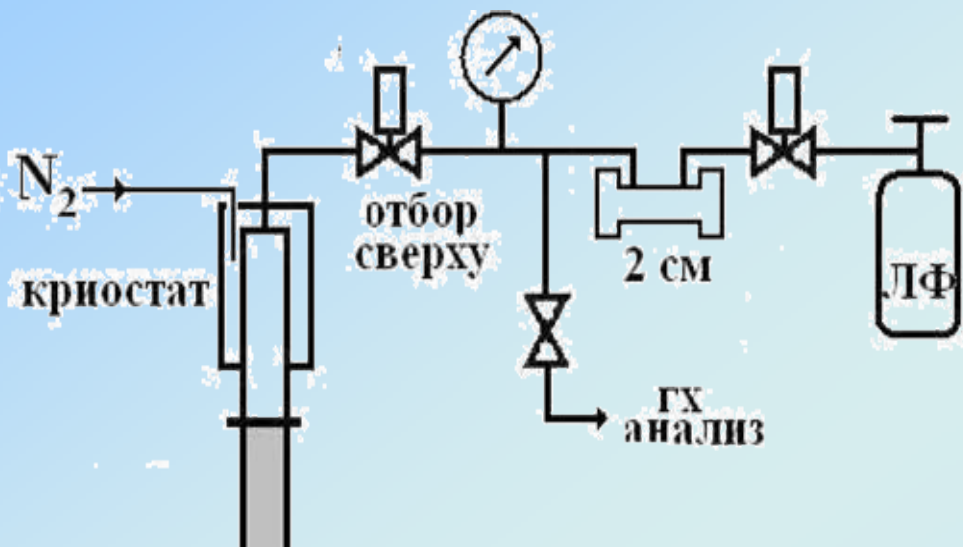


**L=70 см, 140 см**



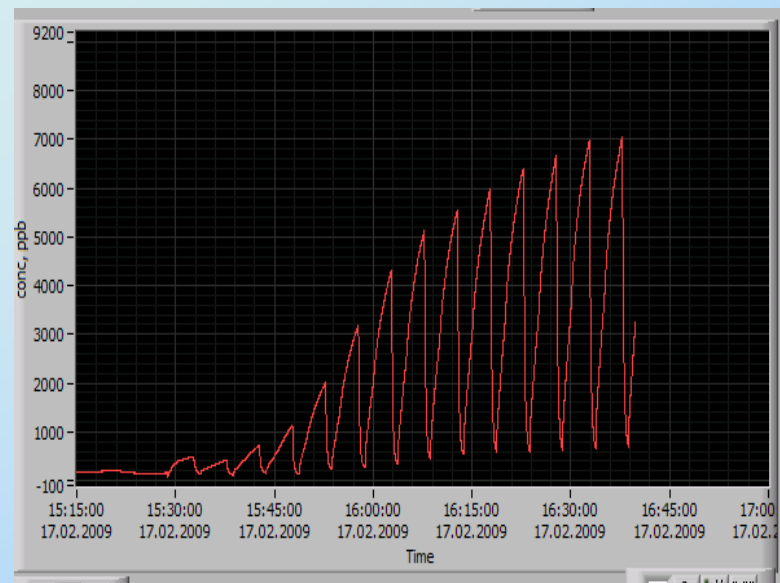
**L=3 см, 5 см**

# Отбор из колонны фракции фосфина, обогащенной легкими примесями (ЛФ).

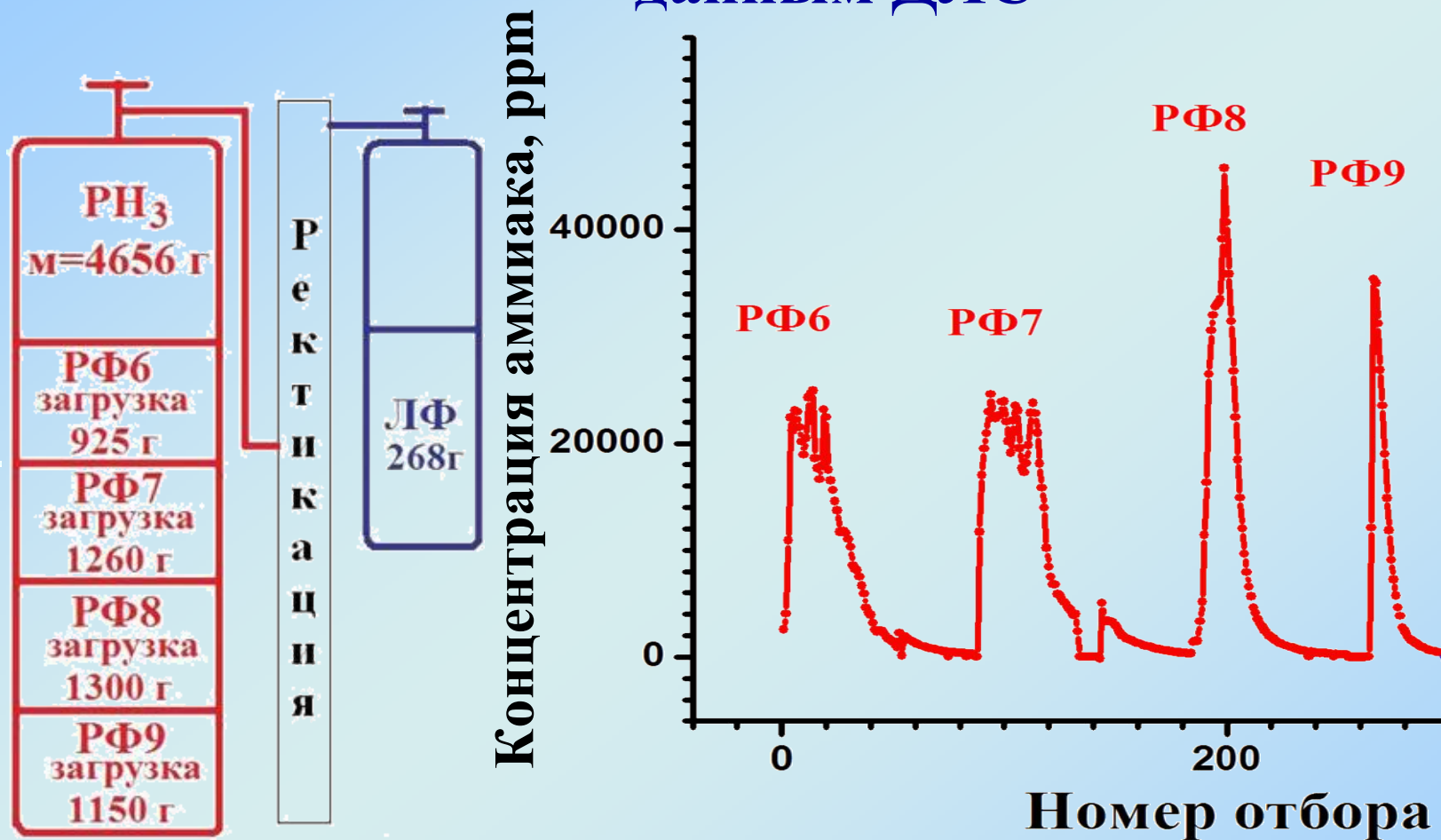


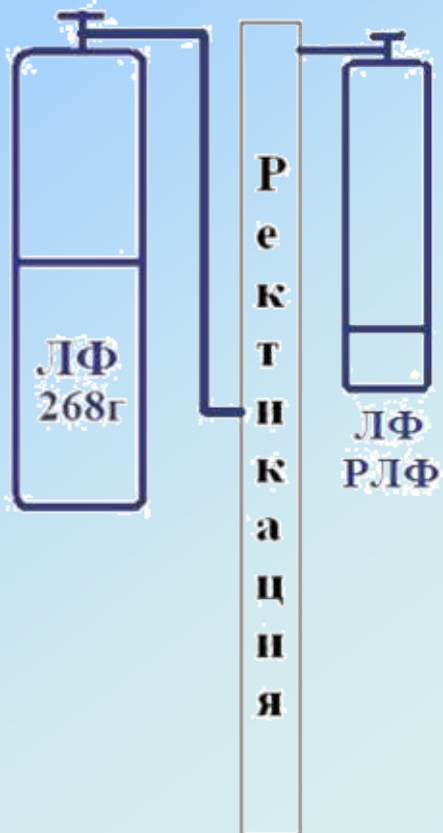
Сигнал  
ДЛС

$P_{\text{отбора}}$   
0,2 абс.атм

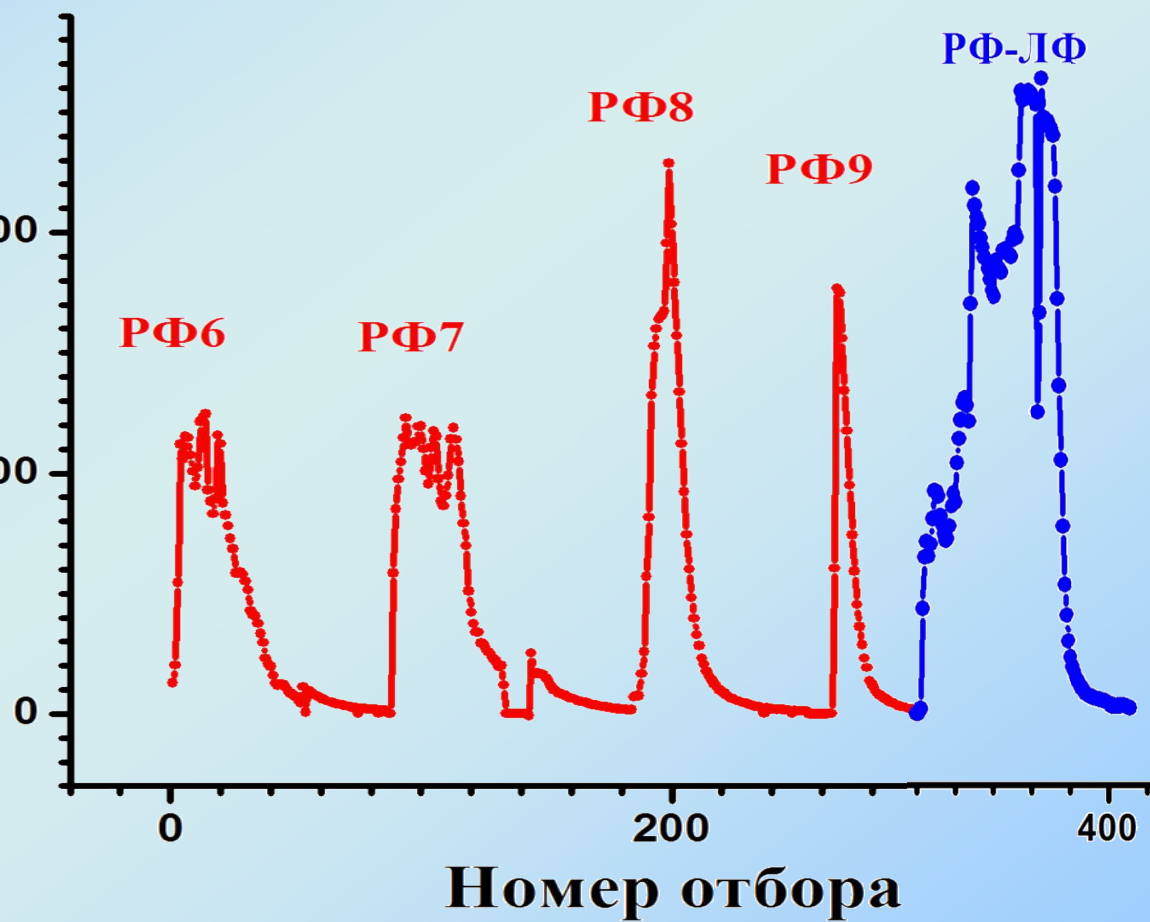


# Изменение содержания аммиака в легкой фракции фосфина в 4-х последовательных ректификациях по данным ДЛС

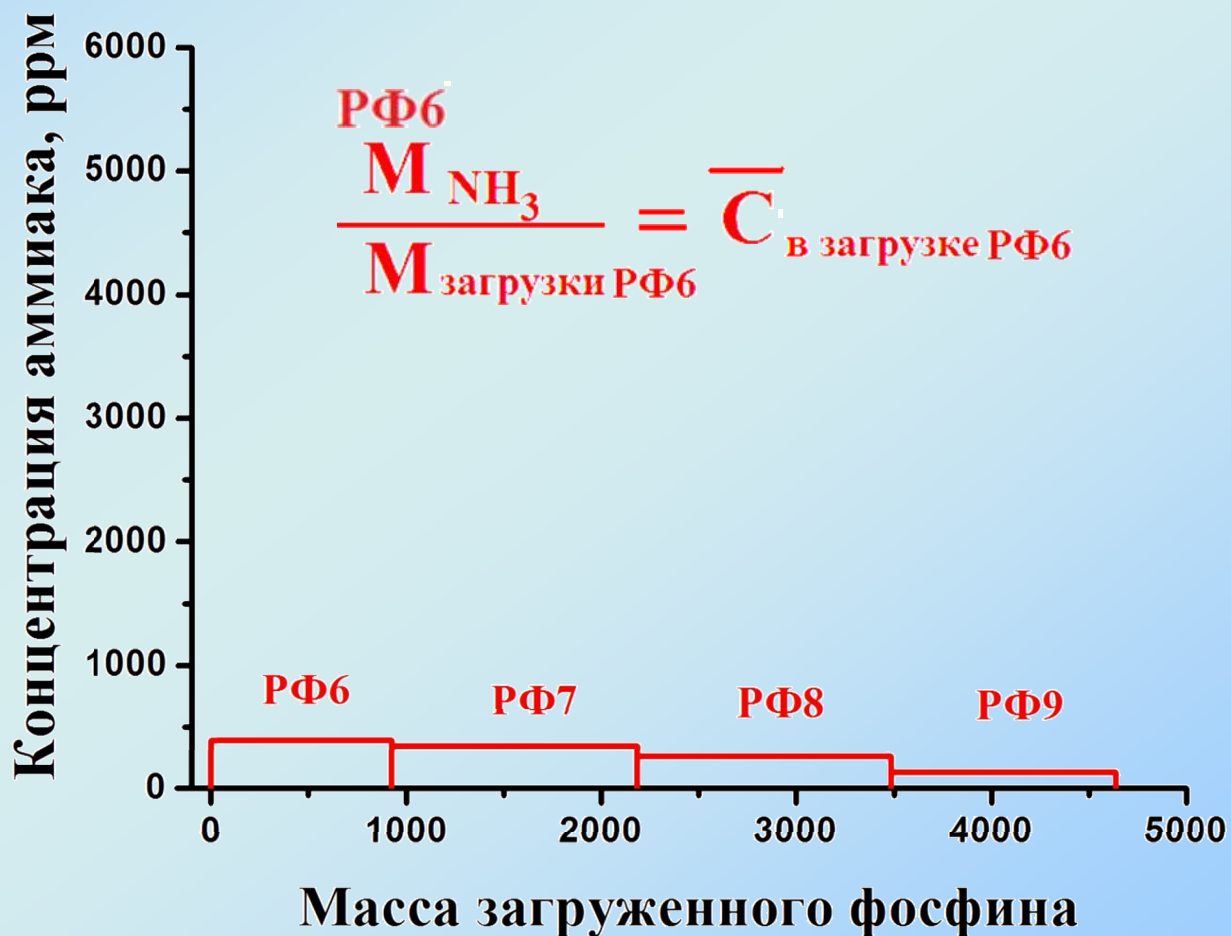


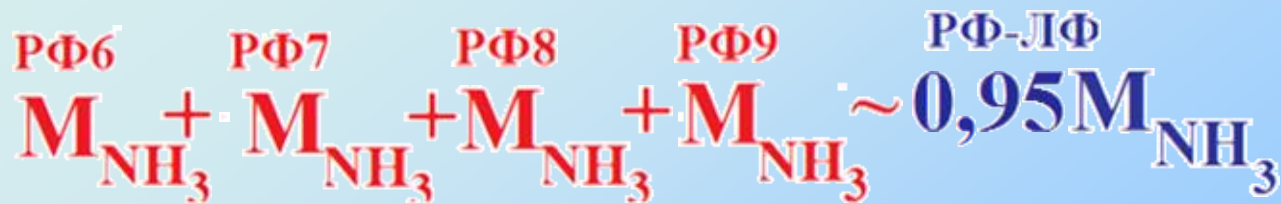
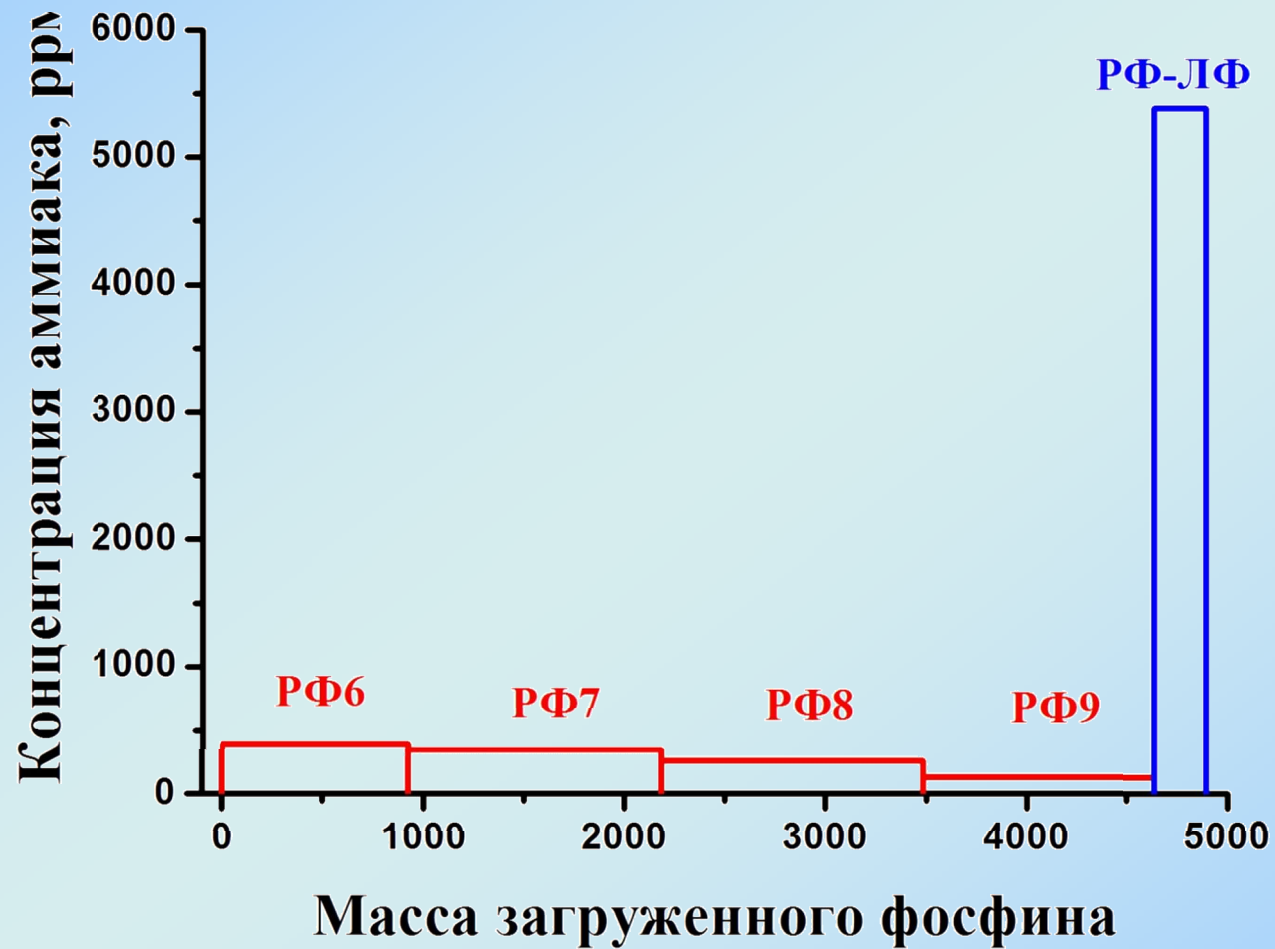


Концентрация аммиака, ppm



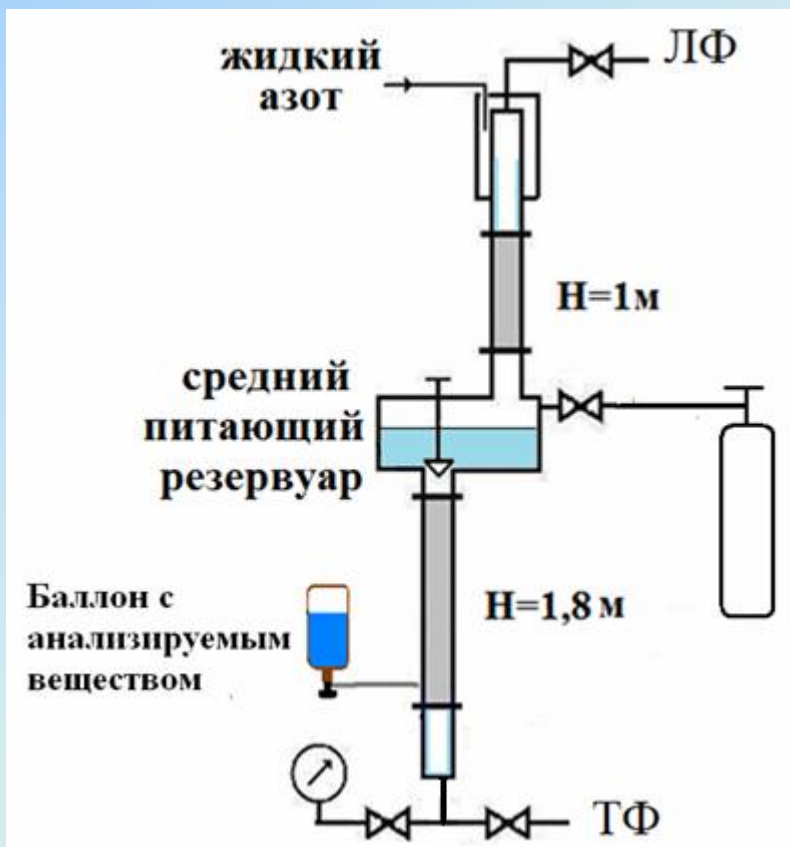
# Изменение концентрации аммиака в фосфине в процессе выгрузки фосфина из баллона



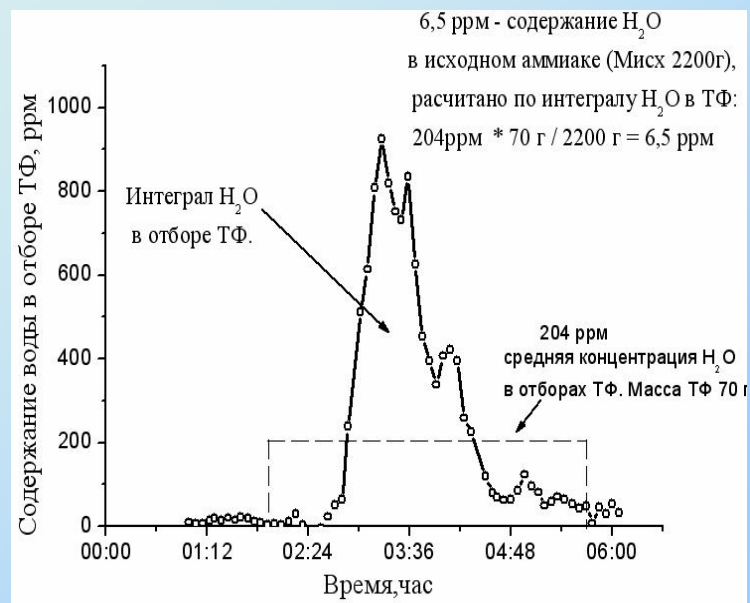
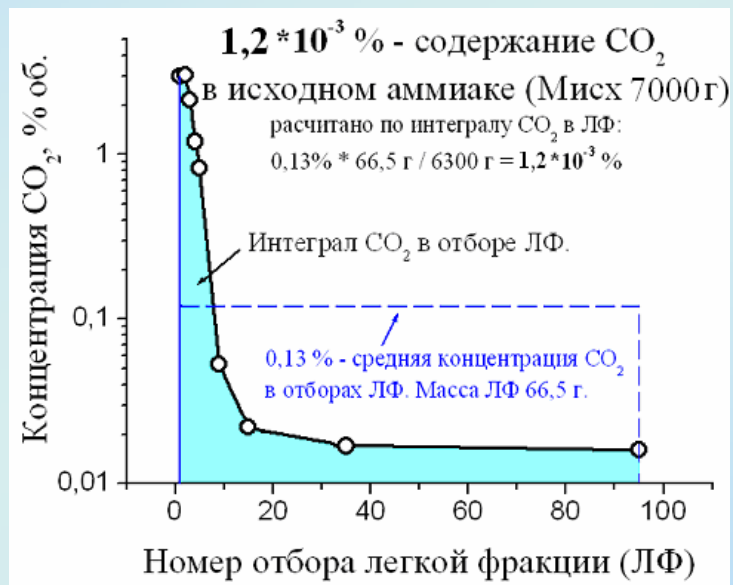


# Анализ аммиака на содержание воды в ТФ и углекислого газа в ЛФ методом ДЛС в процессе очистки аммиака.

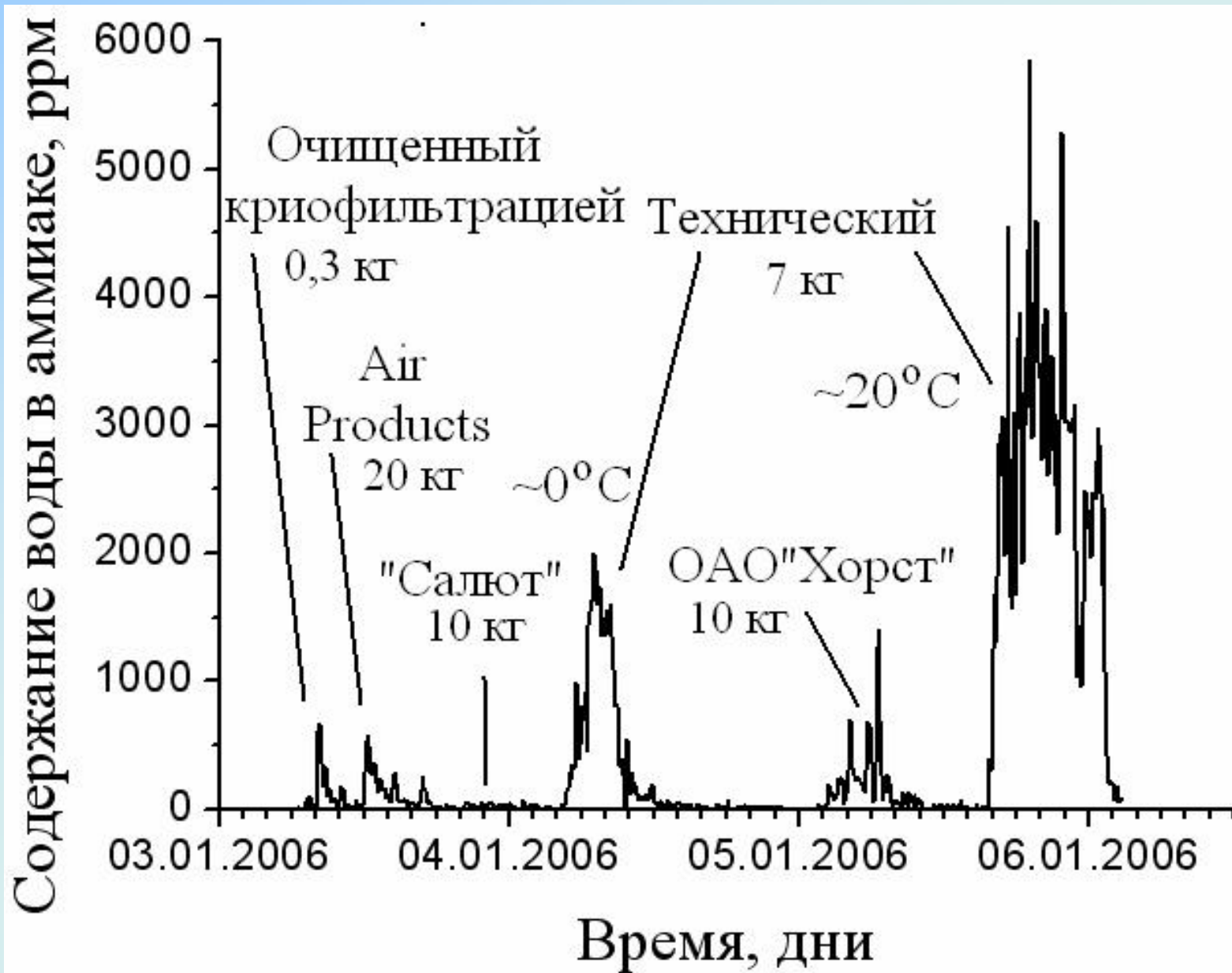
## Изменение концентрации $\text{CO}_2$ в отборе ЛФ аммиака

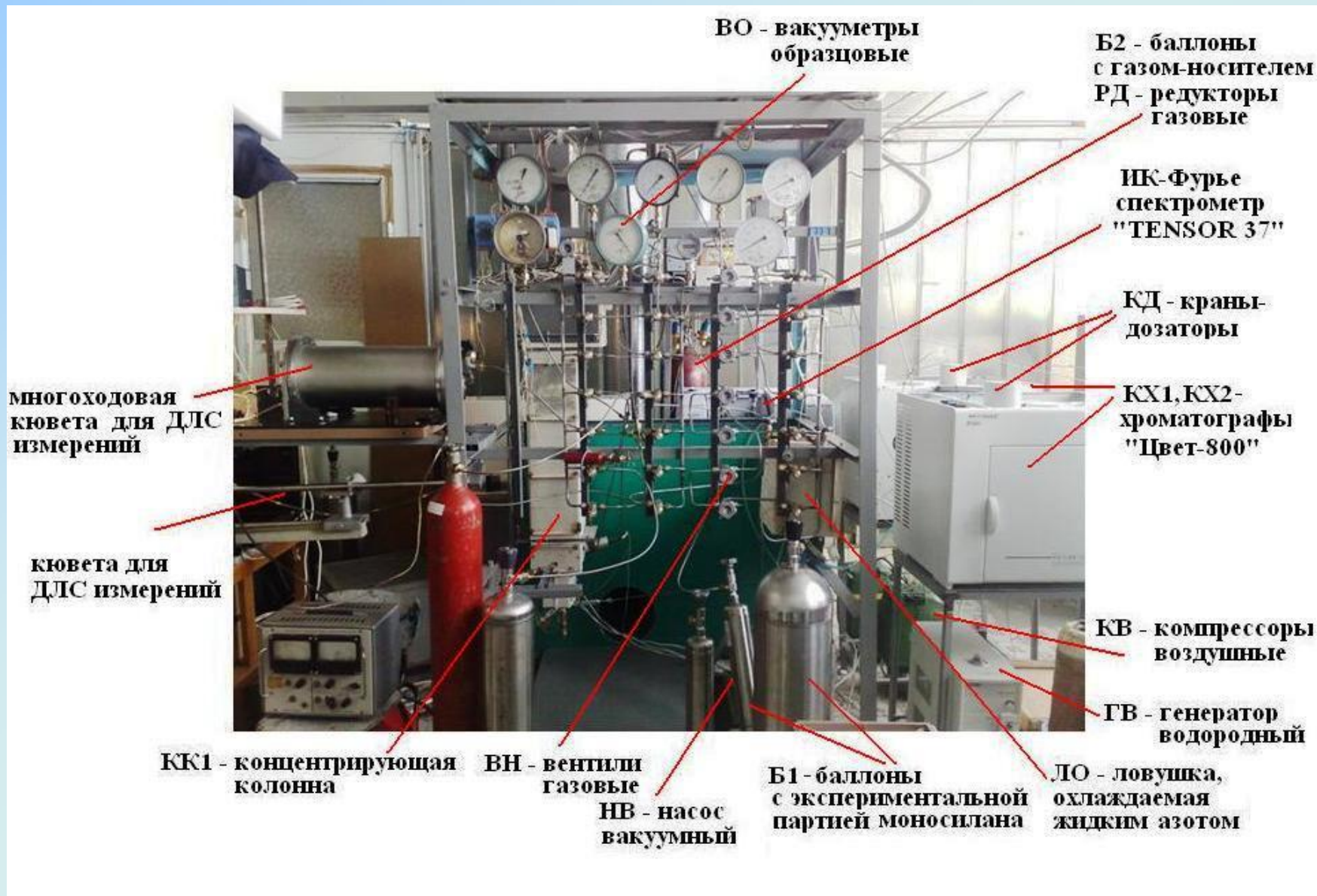


## Изменение концентрации воды в отборе ТФ аммиака



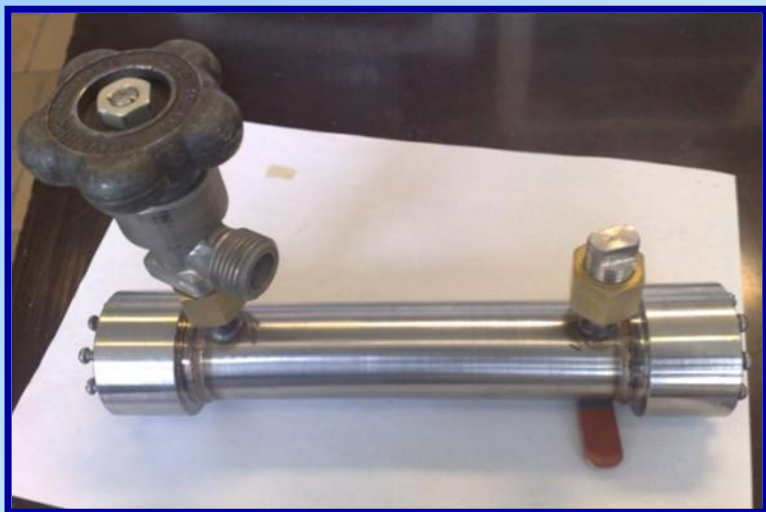
# Результаты измерения концентрации воды в отборе ТФ при ректификации аммиака.





**Спасибо за внимание**

# Кюветы для измерений ИК спектров.



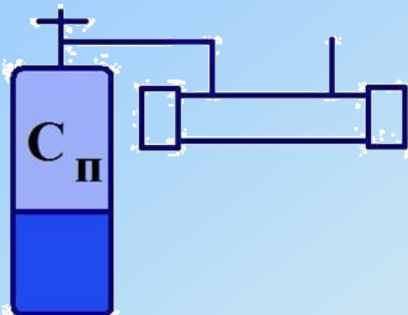
# **Уточнение примесного состава летучих гидридов.**

Уточненный состав примесей во “фторидном” SiH<sub>4</sub> по результатам измерений ИК-спектров обогащенных фракций.

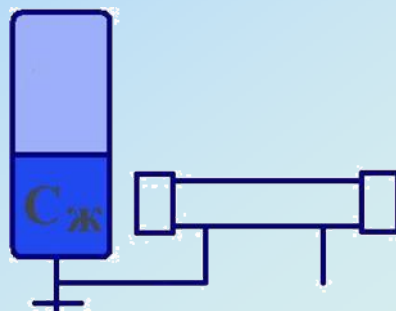
№п/п	Примесь	Содержание, мол.%		Где концентрируется
		измерено в исходном <sup>28</sup> SiH <sub>4</sub> методом ГХ	рассчитано по обогащенным фракциям	
1	CH <sub>4</sub>	3, 7·10 <sup>-3</sup>	7,2·10 <sup>-4</sup>	ЛФ
2	CO <sub>2</sub>	-	4,0·10 <sup>-5</sup>	
3	SiF <sub>4</sub>		1,6·10 <sup>-3</sup>	
4	SiF <sub>3</sub> H		8,0·10 <sup>-3</sup>	
5	SiF <sub>2</sub> H <sub>2</sub>		1,2·10 <sup>-3</sup>	
6	COF <sub>2</sub>		?	
7	C <sub>2</sub> H <sub>6</sub>		1,3·10 <sup>-3</sup>	1,5·10 <sup>-3</sup>
8	Si <sub>2</sub> H <sub>6</sub> O	-	7,5·10 <sup>-1</sup>	
9	Si <sub>2</sub> H <sub>6</sub>		2,3·10 <sup>-1</sup>	
10	C <sub>2</sub> F <sub>4</sub>		8,0·10 <sup>-3</sup>	

# Определение содержания аммиака в паровой и жидкой фазах в баллонах с арсином и фосфином .

по паровой фазе



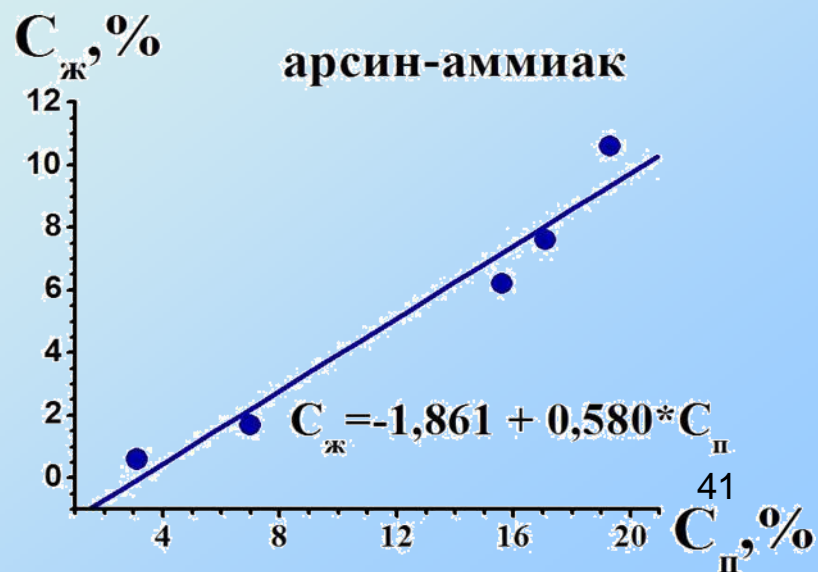
по жидкой фазе



Гидрид	Номер баллона (объем, л)	Концентрация $\text{NH}_3$ , об. %		
		в паровой фазе, $C_{\text{п}}$	в жидкой фазе, $C_{\text{ж}}$	$C_{\text{п}}/C_{\text{ж}}$
$\text{AsH}_3$ из $\text{As}_2\text{Mg}_3$	075(2)	15,5	6,2	2,5
	0011(4)	17,1	7,6	2,3
$\text{PH}_3$ из $\text{P}_2\text{Mg}_3$	058(4)	0,043	0,030	1,4

Смеси

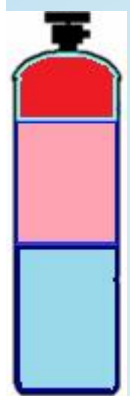
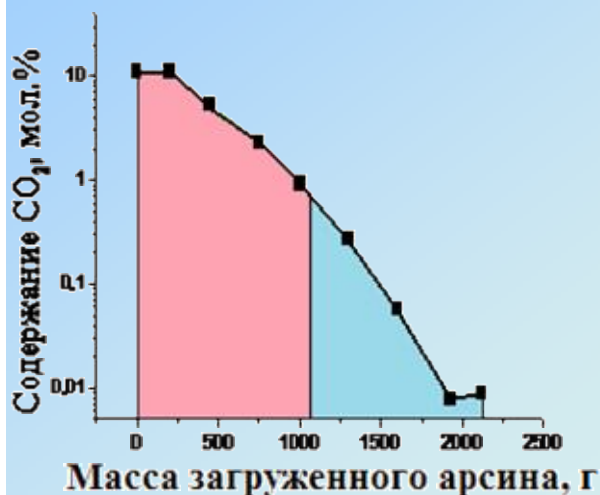
$\text{AsH}_3 + \text{NH}_3$	005(4)	7,0	1,7	4,1
	185 (5)	3,1	0,6	5,2
	226(5)	19,3	10,6	1,8
$\text{GeH}_4 + \text{NH}_3$	999(0,8)	0,94	0,28	3,4



Изменение содержание углекислого газа в арсине, выгружаемом из баллона по газовой фазе.



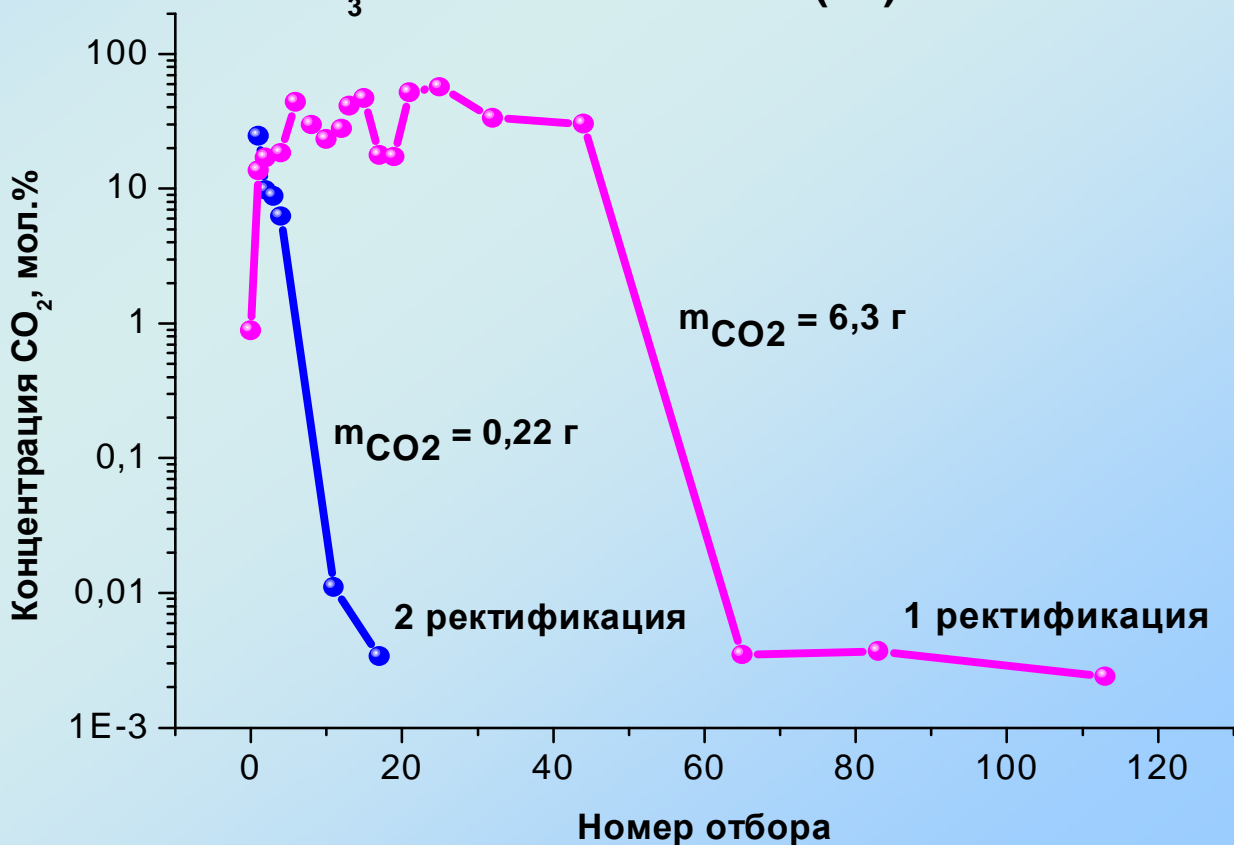
# Изменение концентрации ( $\text{CO}_2$ ) в отборе ЛФ арсина в двух последовательных ректификациях при загрузке $\text{AsH}_3$ из одного баллона



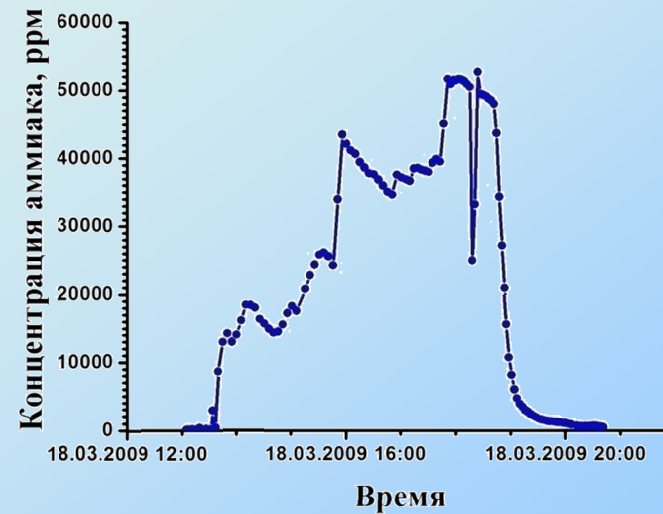
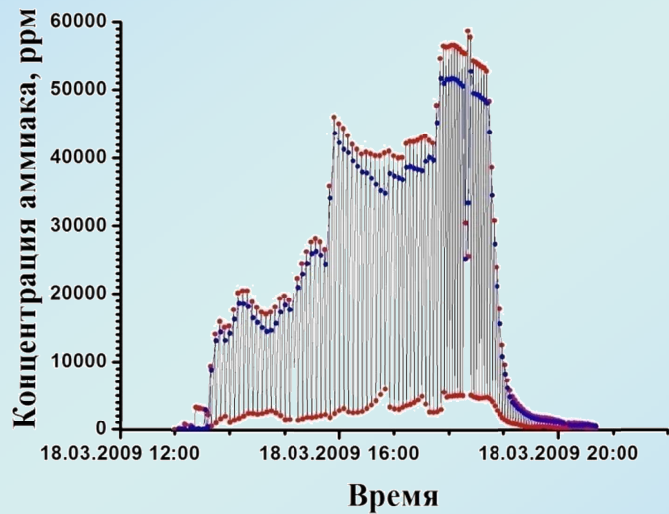
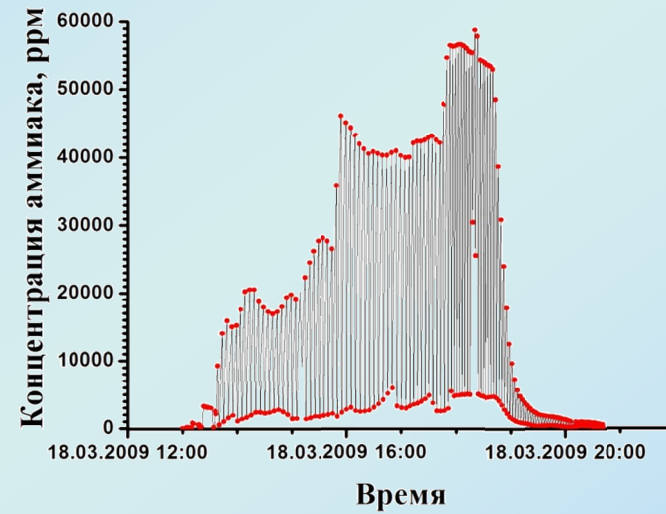
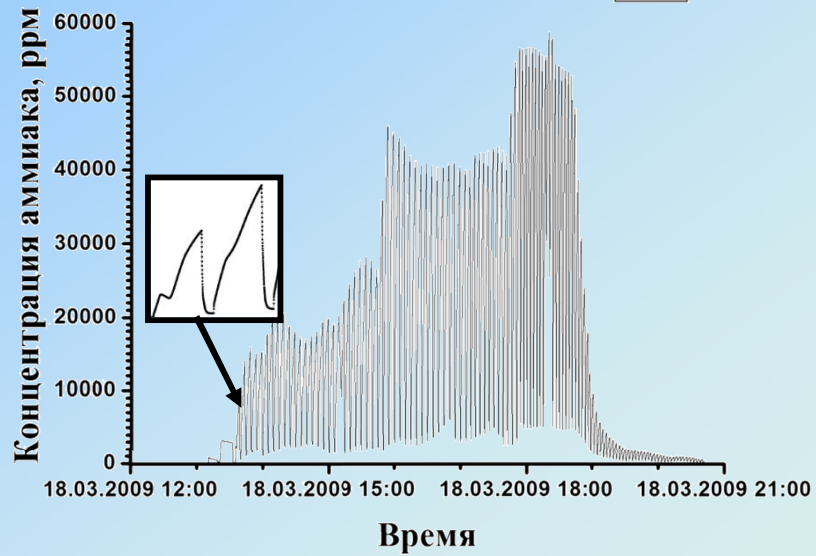
Загрузка в 1-й ректификации

Загрузка во 2-й ректификации

## Очистка $\text{AsH}_3$ из баллона №1265(20)



# Последовательность обработки экспериментальных данных ДЛС

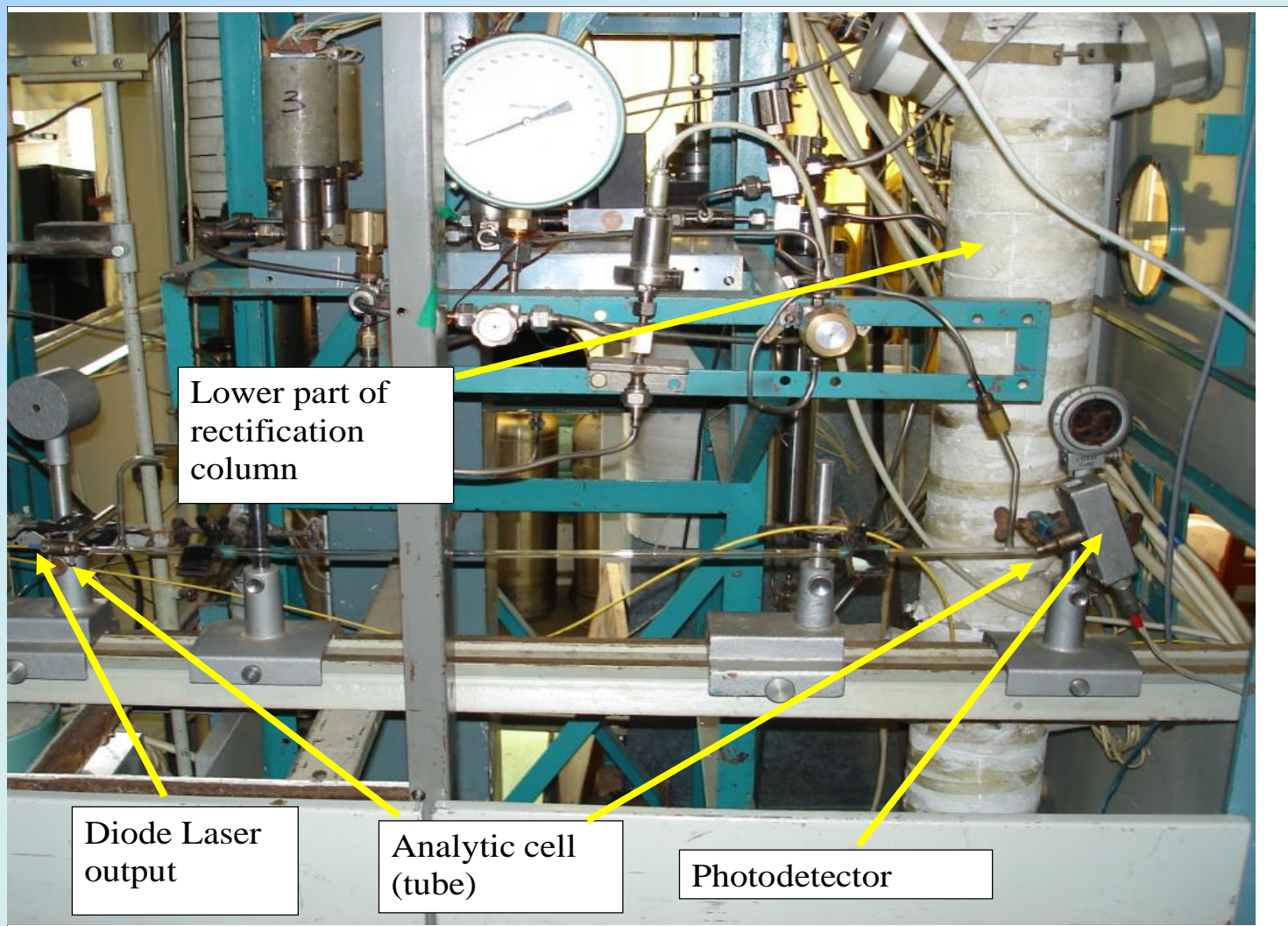


# Заключение

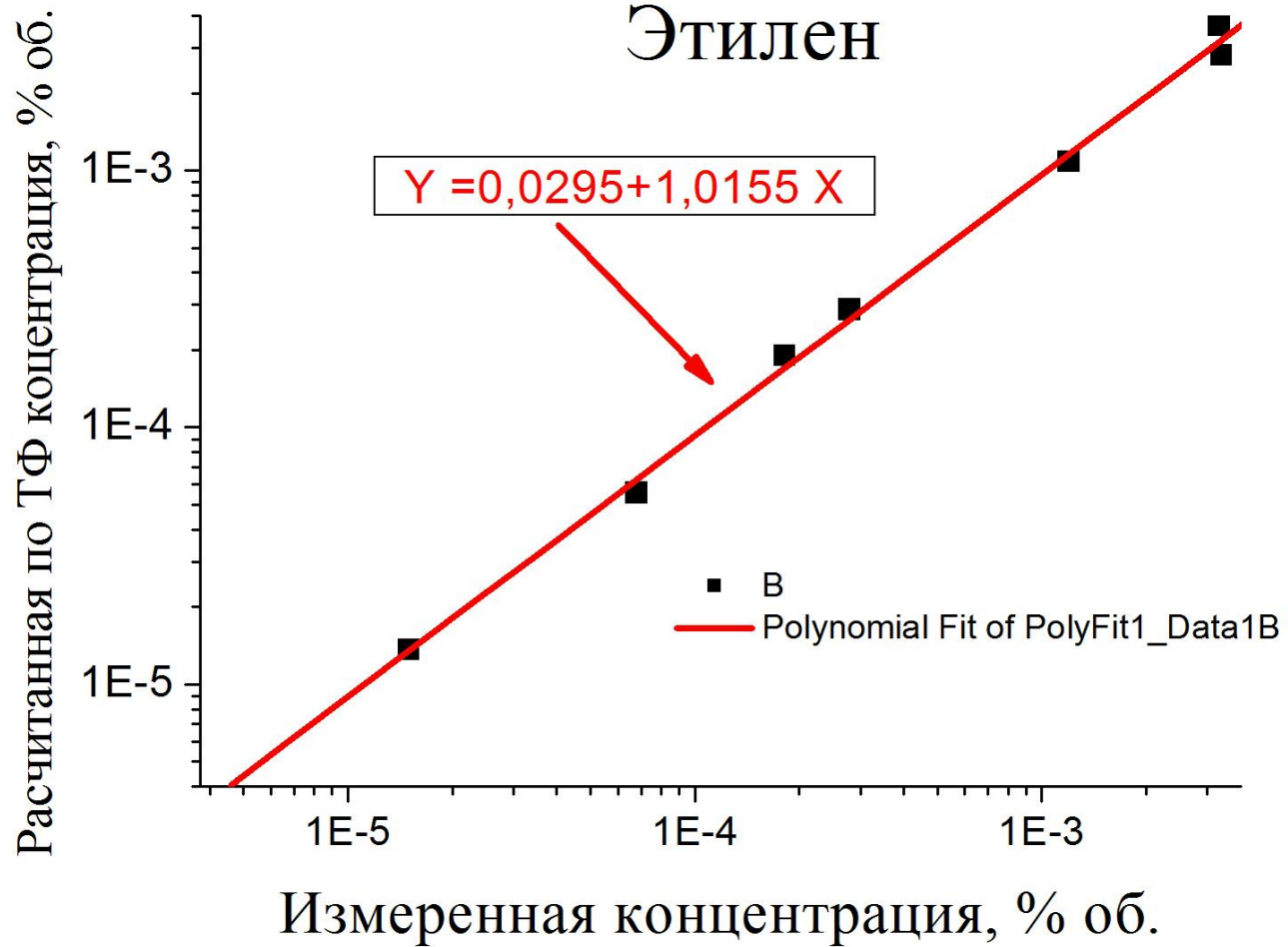
1. Разработаны оборудование и методики для определения содержания примесей в гидридных газах на основе метода диодно-лазерной спектроскопии (ДЛС) и ИК-Фурье спектроскопии.
2. Исследован и уточнен примесный состав арсина, фосфина и силана с использованием разработанных методик.
3. Установлено аномальное поведение ряда примесей в гидридных газах. В растворах  $\text{AsH}_3$  и  $\text{PH}_3$  примеси  $\text{NH}_3$ ,  $\text{H}_2\text{S}$  проявляют свойства более летучей примеси по отношению к этим гидридам, хотя температуры кипения примесей выше, чем у очищаемых веществ.
4. Показано, что сублимирующие примеси  $\text{CO}_2$  и фторсиланы в моносилане также проявляют свойства более летучих примесей.

5. Изучено поведение примесей в процессе очистки гидридов. Показано, что для оптимизации проведения эффективной очистки гидридов необходимо непрерывно контролировать их содержание в отборе обогащенных фракций.
6. С помощью метода ДЛС реализован непрерывный контроль содержания примесей  $\text{H}_2\text{O}$ ,  $\text{NH}_3$ ,  $\text{CO}_2$  и  $\text{H}_2\text{S}$  в отборе ЛФ и ТФ при очистке  $\text{AsH}_3$ ,  $\text{PH}_3$  и  $\text{NH}_3$  методом низкотемпературной ректификации.

# Одноканальный прибор для определения воды в аммиаке методом ДЛС. 2007 г.



# Этилен



**Остатки в колонне**

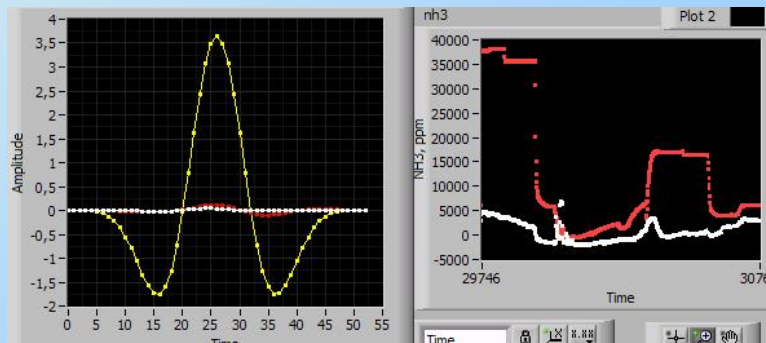
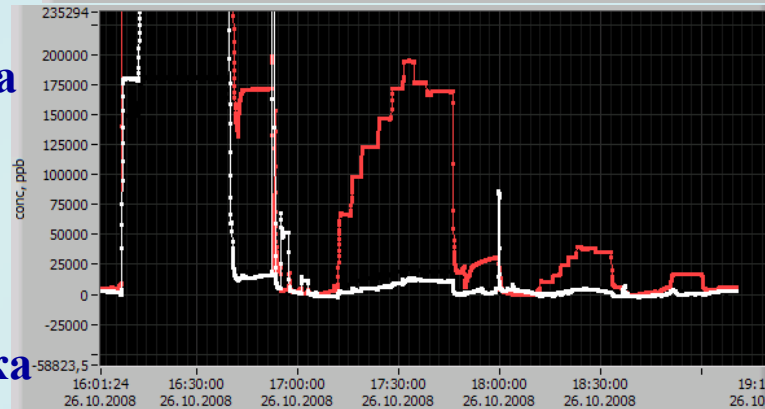
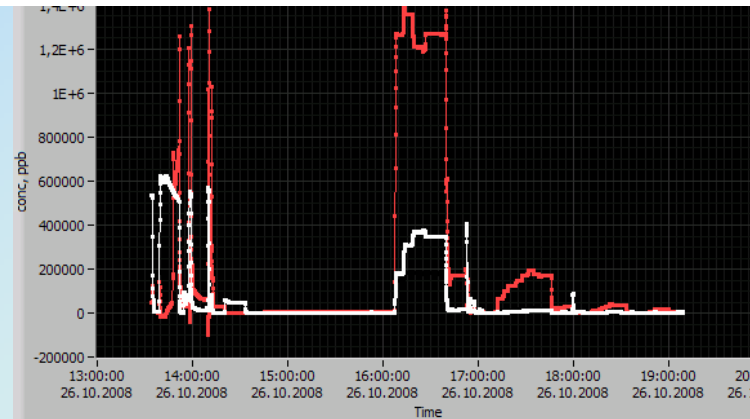
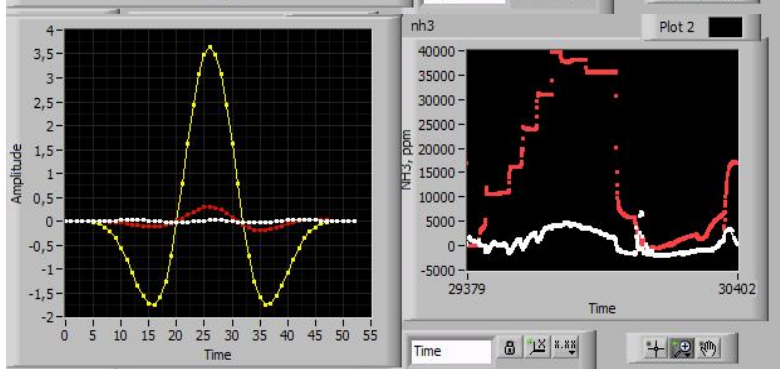
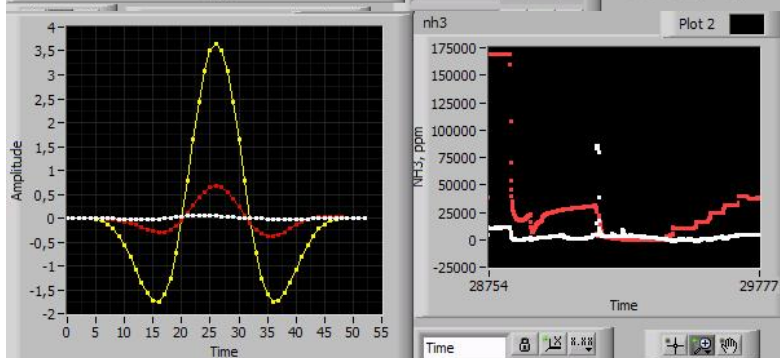
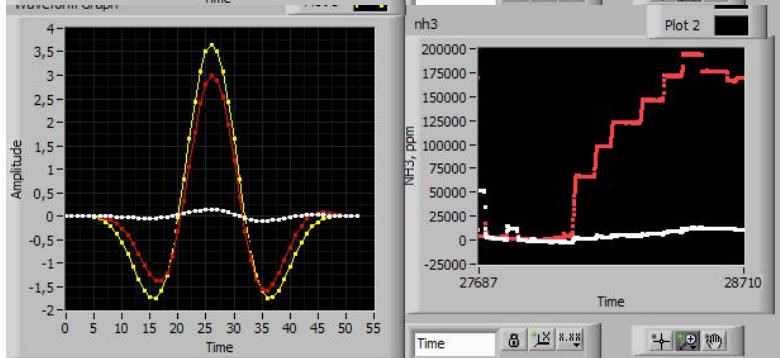
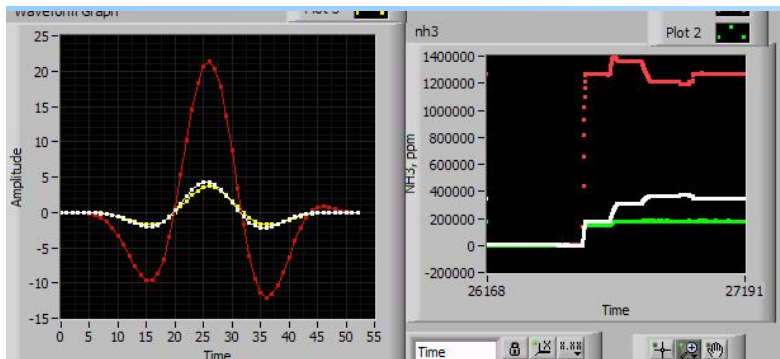
**1-я промывка**

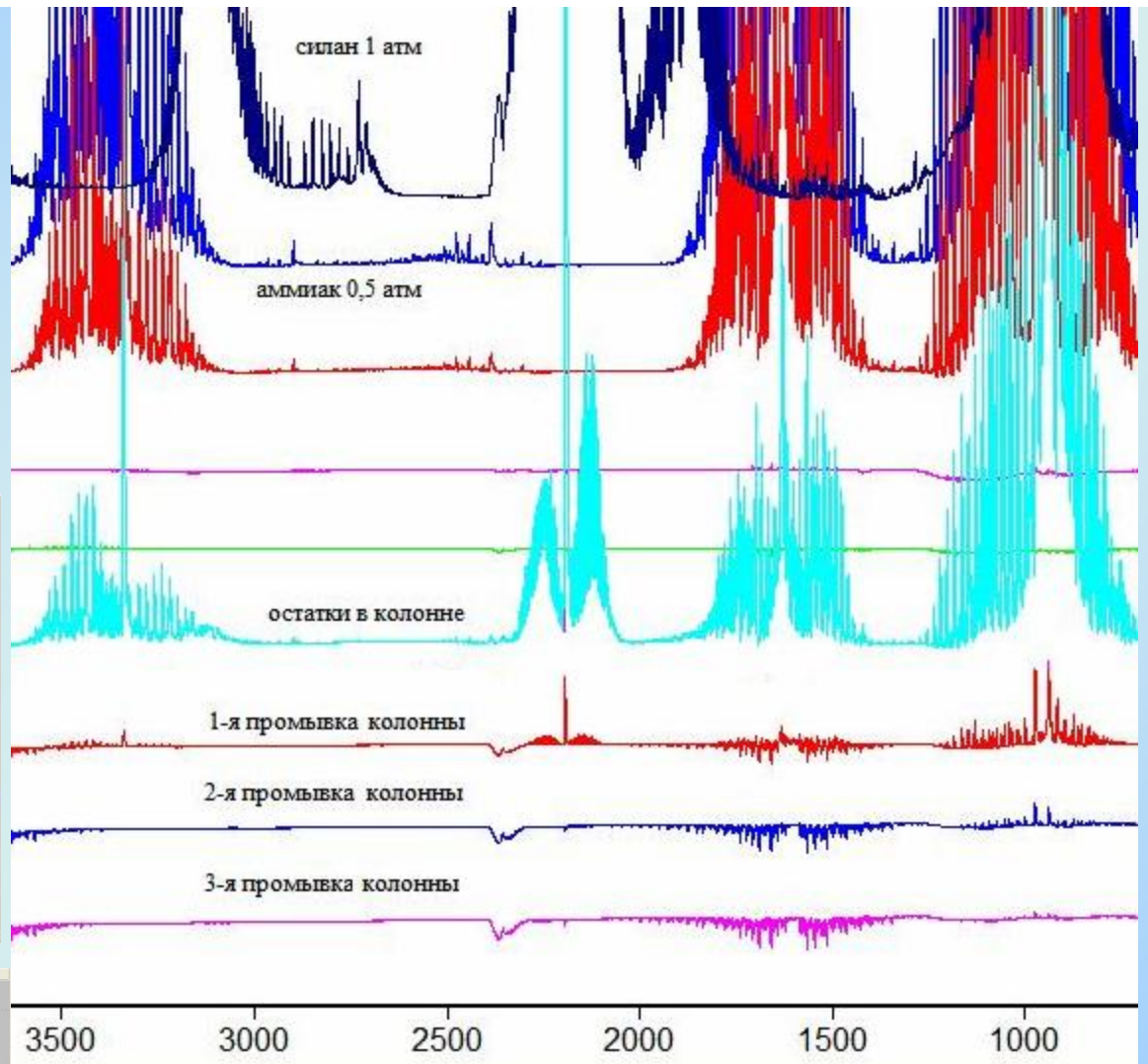
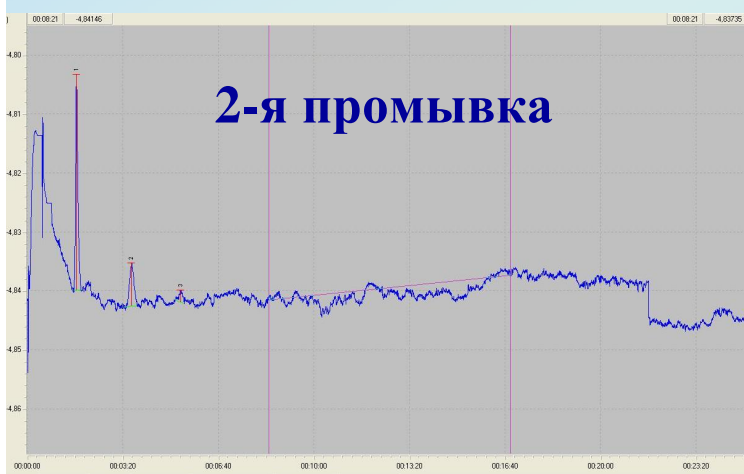
**2-я промывка**

**Результаты контроля содержания аммиака в смеси гелий-аммиак методом ДЛС при отмывке колонны от аммиака.**

**3-я промывка**

**После откачки**





**Результаты контроля содержания аммиака в смеси гелий-аммиак методами ГХ и Фурье-ИКС при отмывке колонны от аммиака.**

# Спектры арсина-ректификата и обогащенных фракций.

